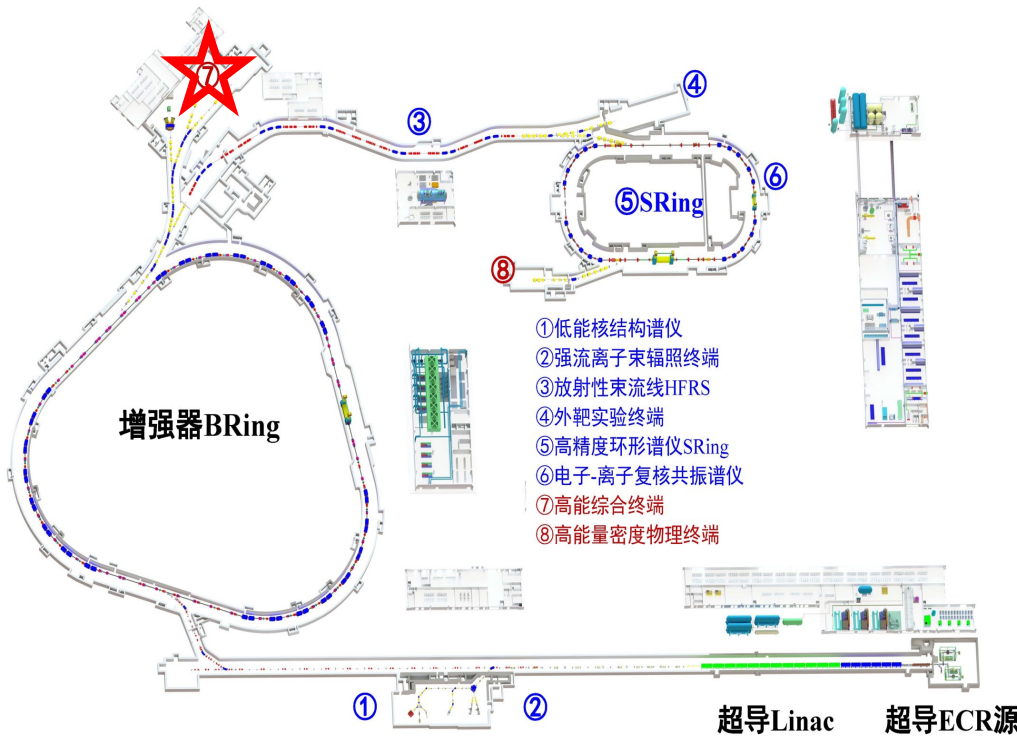


HIAF高能终端新谱仪的建议

陈旭荣、何熊宏、胡强、林德旭、仇浩、孙旭、
田野、王荣、杨海波、张亚鹏、赵承心

HIAF及HIAF-U



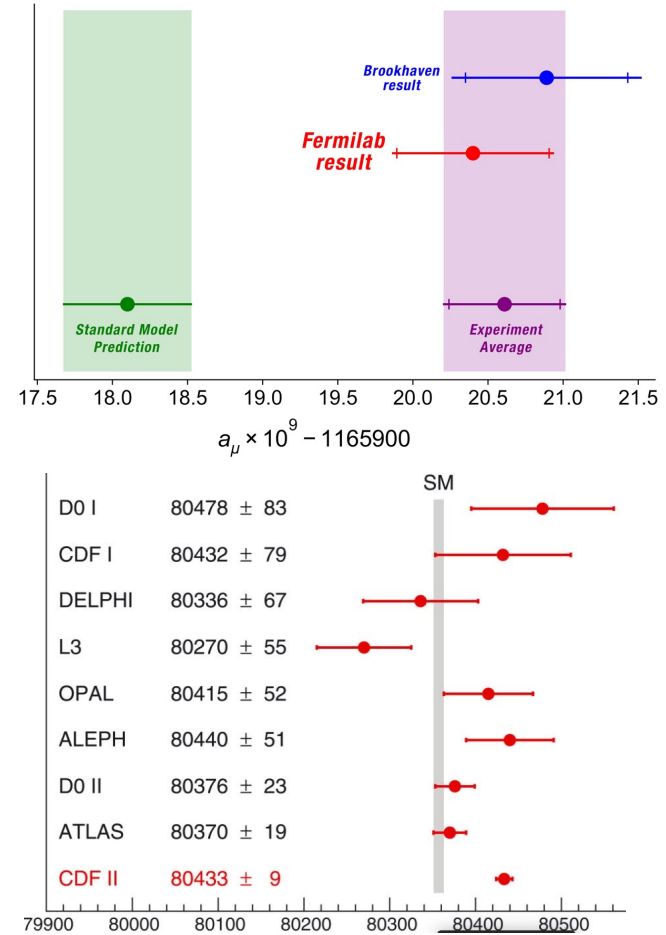
	$E_k (\text{GeV/u})$	$\sqrt{s}_{\text{NN}} (\text{GeV})$
HIAF p束	<9.3	<4.58
HIAF U束	0.8-2.45	2.24-2.85
HIAF-U U束	2.95-9.1	3.01-4.54

- 可以提供最高能量9.3GeV/u的高流强质子束流
 - 为 η 介子物理、轻强子物理研究提供了良好的束流条件
- HIAF(HIAF-U)高能终端可以提供0.8-2.45 GeV/u (2.95-9.1 GeV/u)能量的高流强U束
 - 为超核、高重子密度区核物质相结构、状态方程研究提供了良好束流条件

η 介子物理

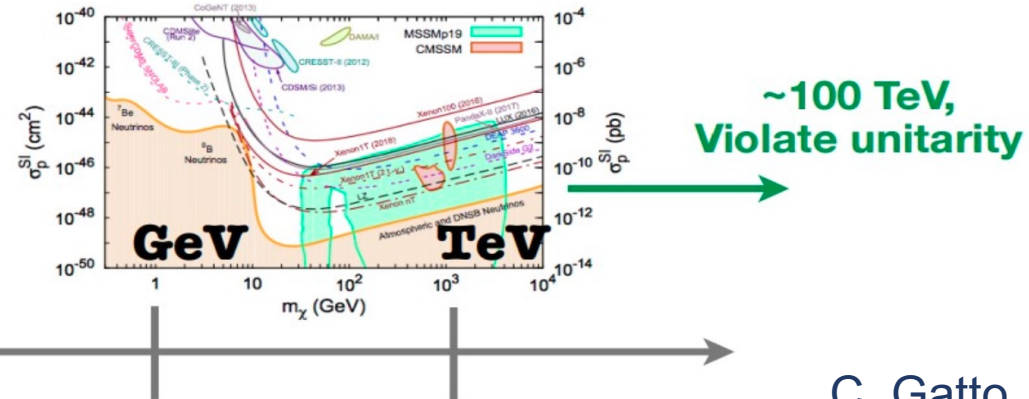


C. Gatto



- 粒子物理标准模型面临一些难题，需要超出当前标准模型的新物理
- 除了标准模型预言的Higgs粒子，LHC的高能量前沿实验没有发现其它新粒子/新物理
- 高精度前沿测量，也是发现新物理的重要手段，如 μ 子反常磁矩g-2、W质量

η 介子物理



C. Gatto

Bound by cosmological observations

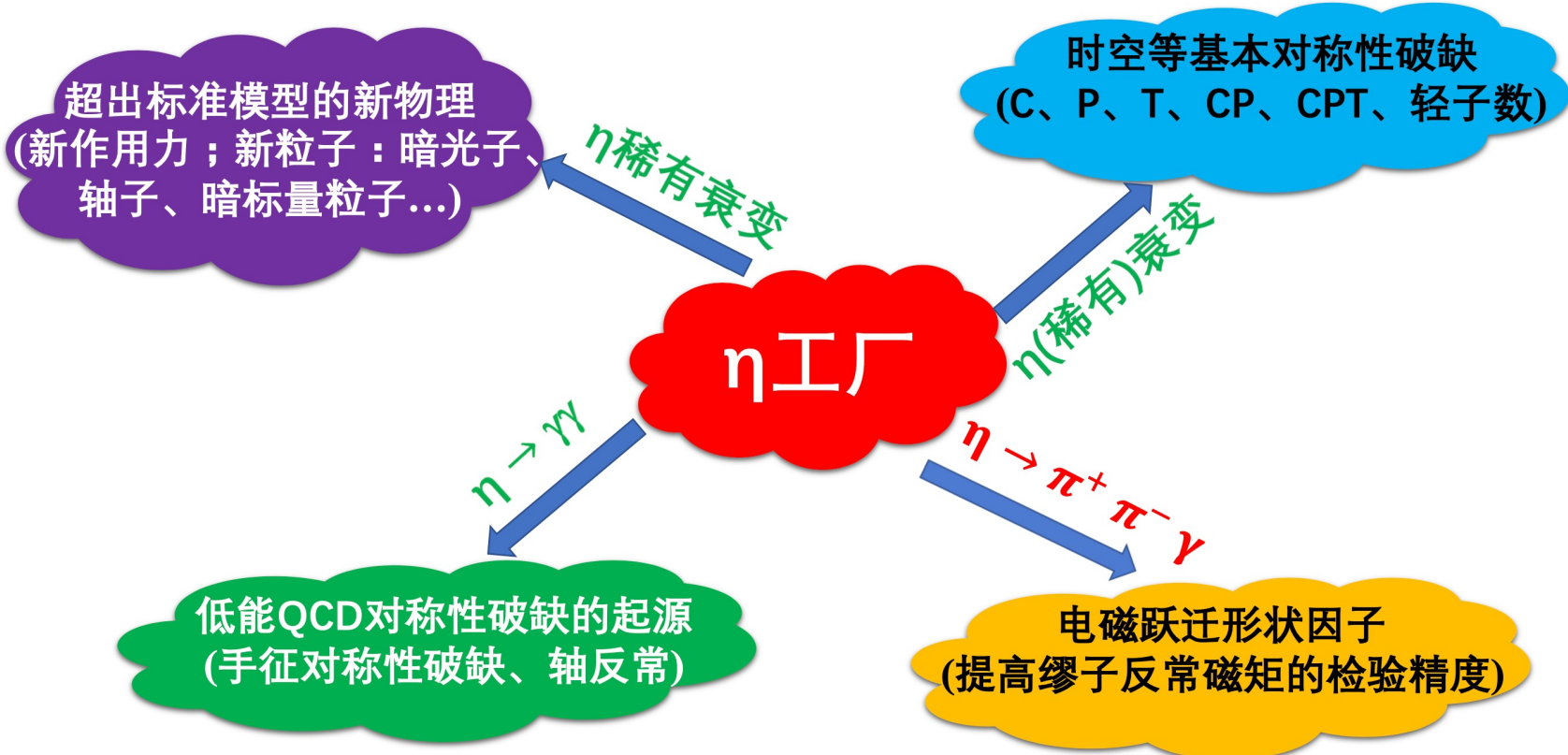
Mostly unconstrained

Disfavored by LHC/Direct detection

Requires new facilities

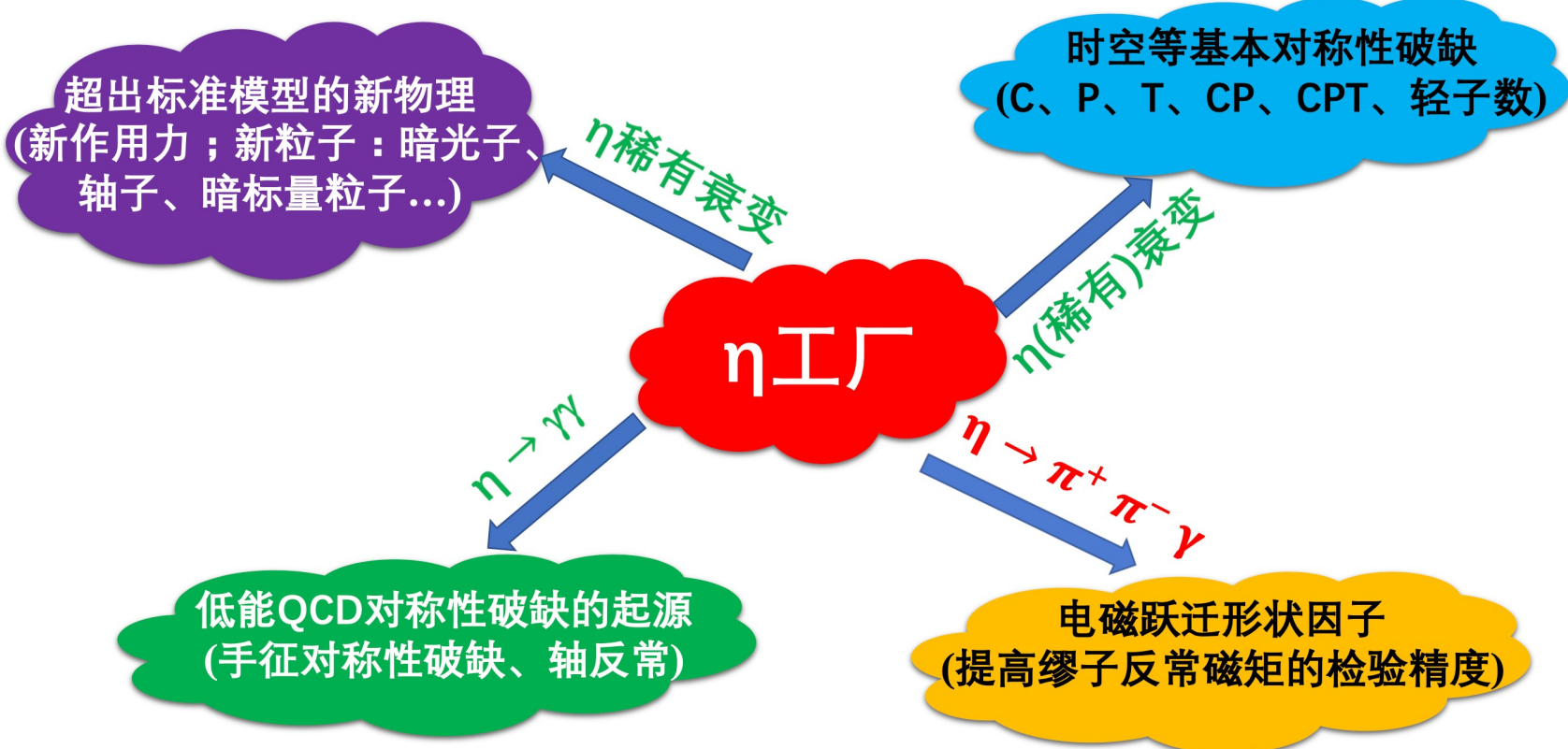
- 在暗物质粒子寻找中，传统的大质量弱相互作用粒子(WIMP, GeV~100TeV)可能存在的参数空间不断被实验排除
- 轻暗物质粒子(MeV~GeV)当前实验限制较少，是重要的实验寻找方向
 - 需要引入弱相互作用以外的新相互作用，避免在宇宙演化中太早冻出、密度太大，使宇宙闭合
- 强流加速器装置是寻找轻暗物质粒子的有力工具

η 介子物理



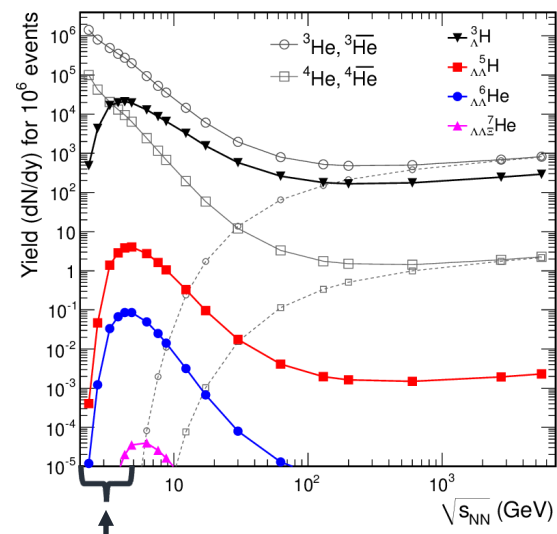
- η 、 η' 介子是除Higgs之外，唯二的全零量子数 ($Q = I = J = S = B = L = 0$)粒子
 - 所有强衰变都在最低阶被P、CP、G宇称、同位旋和电荷守恒所禁止
 - 所有电磁衰变都在最低阶被C宇称和角动量守恒所禁止
- ⇒ 与其它粒子相比， η 衰变中，新物理（如果存在）产生的分支比更大

η 介子物理

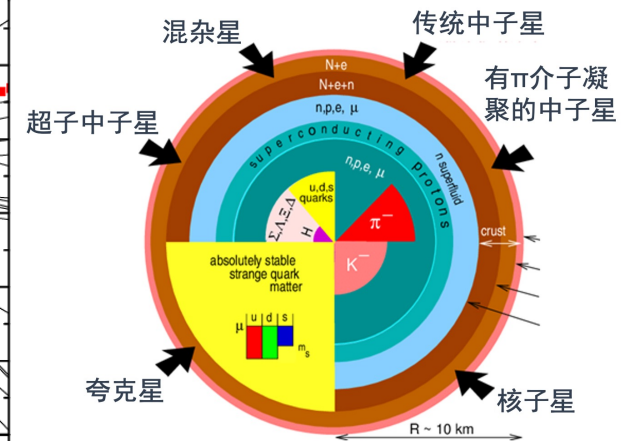
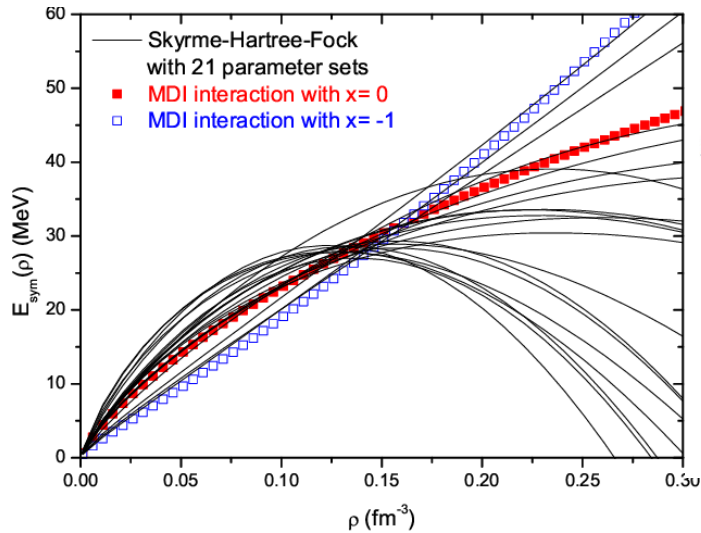


- 寻找暗光子: $\eta \rightarrow \gamma A'$, $A' \rightarrow \mu^+ \mu^-$, $A' \rightarrow e^+ e^-$
- 寻找 (类) 轴子: $\eta \rightarrow \pi \pi a$, $a \rightarrow \gamma \gamma$, $a \rightarrow \mu^+ \mu^-$, $a \rightarrow e^+ e^-$
- 寻找暗标量粒子: $\eta \rightarrow \pi^0 H$, $H \rightarrow \mu^+ \mu^-$, $H \rightarrow e^+ e^-$
- CP对称性: $\eta \rightarrow \pi^0 \pi^+ \pi^-$
- 轻子味普适性: $\eta \rightarrow \mu^+ \mu^- X$, $\eta \rightarrow e^+ e^- X$

超核、状态方程

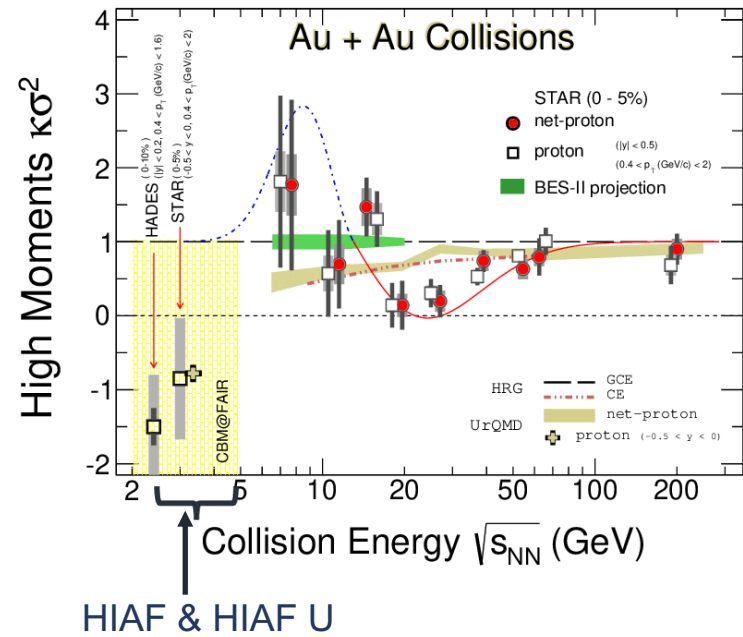
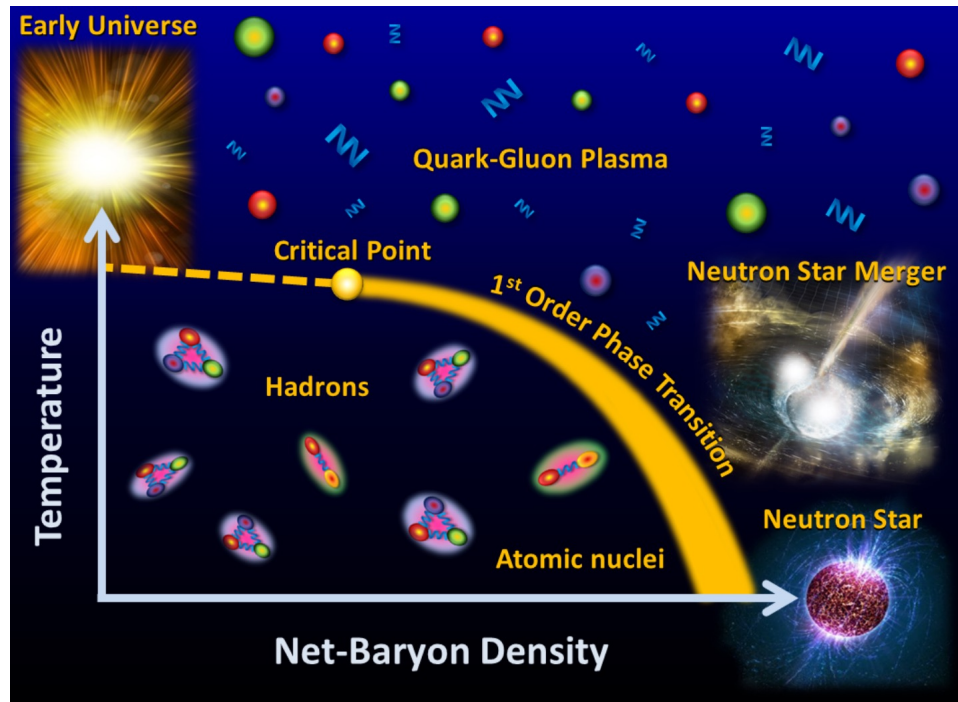


HIAF & HIAF-U



- HIAF & HIAF+能区的重离子碰撞能产生和研究超核，特别是多奇异超核
 ⇒ 超子-核子、超子-超子相互作用 ⇒ 中子星结构和性质
- 重离子碰撞可以产生高密核物质，从而研究其状态方程，例如不同重子密度下的对称能参数
 ⇒ 理解中子星结构和性质

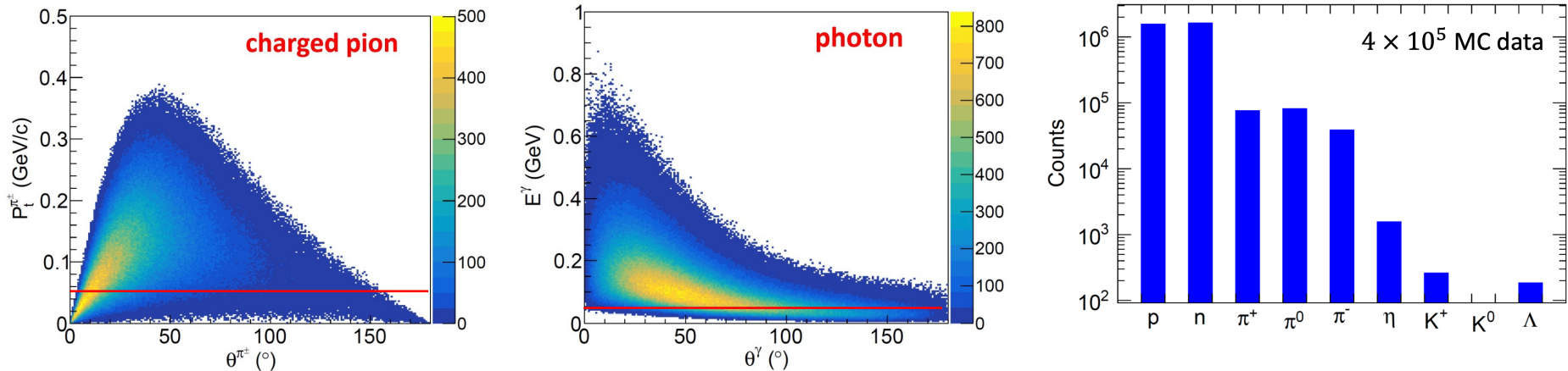
核物质相结构



- 通过不同能量的重离子碰撞，能扫描核物质相图上的不同区域，研究核物质相结构，寻找理论预言的一级相变和临界点
⇒ 理解早期宇宙演化

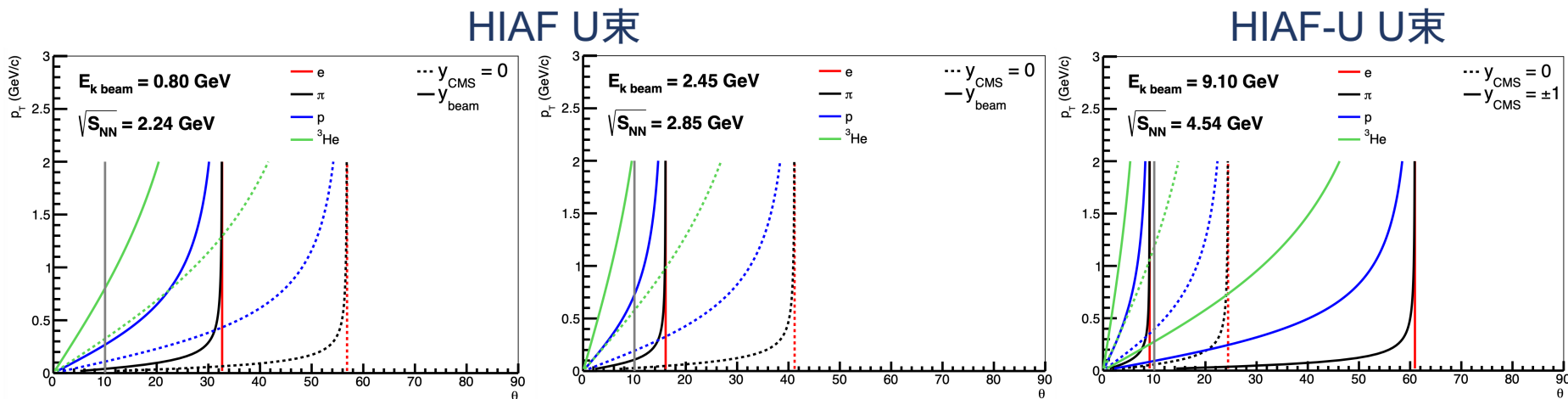
谱仪性能需求—— η 介子物理

$$\eta \rightarrow \pi^+ \pi^- \pi^0 (\gamma\gamma)$$



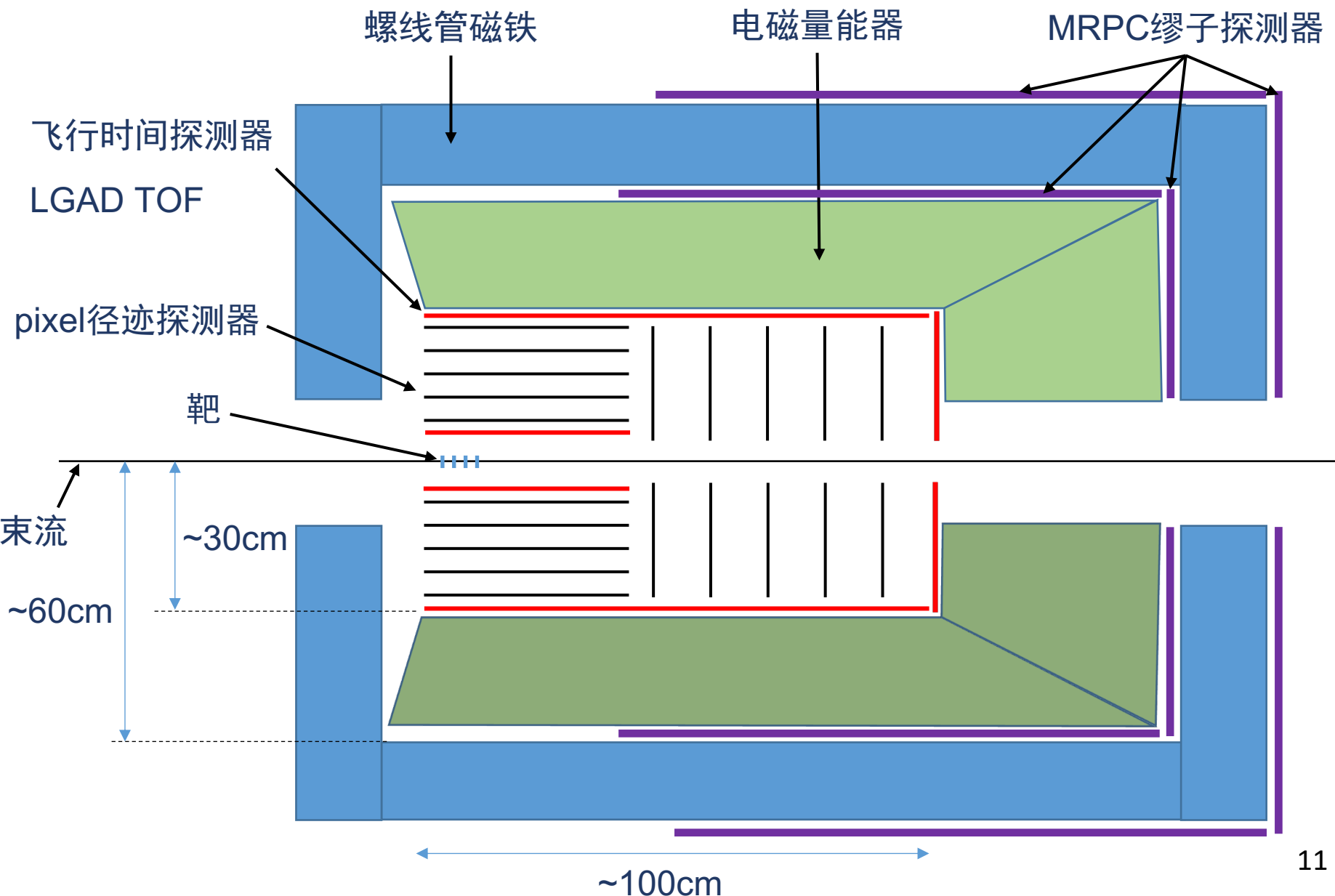
- 1.8 GeV p+⁷Li 或 750 MeV $\pi^+ +$ ⁷Li 王荣
- π^{+-} , e^{+-} , μ^{+-} , γ 粒子测量与鉴别, 尽量大的方位角覆盖
 - 带电粒子横动量50MeV-600MeV
 - γ 能量50MeV-2GeV
 - 鉴别 e^{+-} 、 μ^{+-} , 高效排除 π^{+-} 本底: $\pi^{+-}/e^{+-} \sim 100$, $\pi^{+-}/\eta \sim 100$
 - 鉴别 γ , 高效排除n本底: $n/\gamma \sim 10$, $n/\eta \sim 1000$
- >100MHz事例率, 进行远超当前统计水平的精确测量(REDTOP提的700MHz)

谱仪性能需求——重离子碰撞



- 相结构、超核物理: 0.8-9.1 GeV/u束流能量U+U
 - $\pi^{+-}, K^{+-}, p, d, t, \text{He}^3, \text{He}^4$ 粒子测量与鉴别
 - 覆盖所有束流能量、所有粒子的中心快度——靶快度区
 - \Rightarrow 10-100度的接收度
 - 对高阶矩等关联测量至关重要
 - 尽可能大的动量覆盖范围
 - 精确的顶点重建能力有助于降低超核重建本底

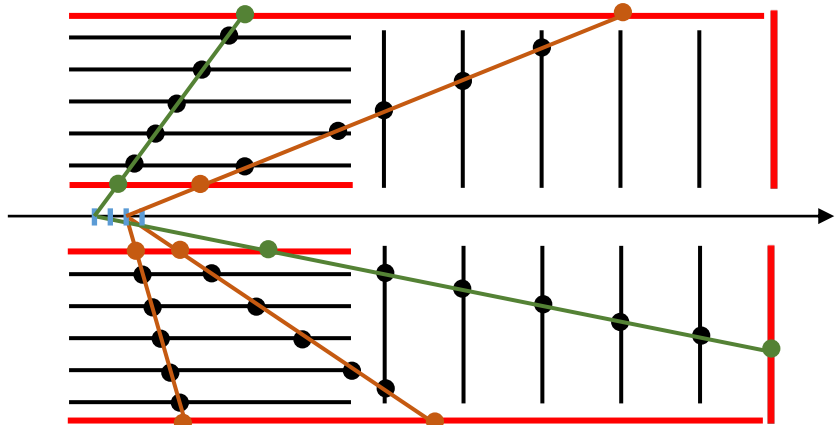
谱仪概念设计



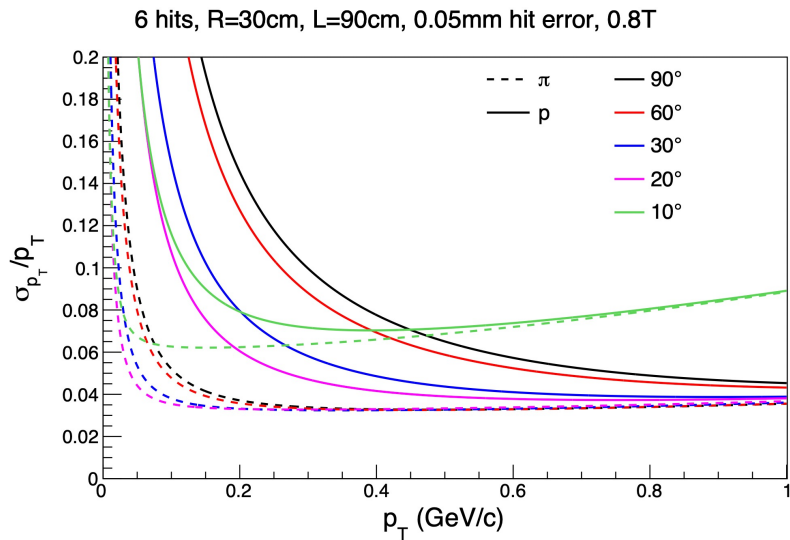
谱仪特点

- 全硅径迹探测器
 - 极高事例率
 - η 物理: >100MHz, 几小时即可采集与当前全世界 η 事例相当的统计
 - 重离子碰撞: >MHz (STAR 1kHz, CEE 10kHz, ALICE 50kHz, CBM 10MHz)
 - 紧凑谱仪
 - 径迹探测器+TOF半径仅30cm, 大幅降低量能器、磁铁、缪子探测器等造价
 - 高位置分辨
 - 利用更短的径迹长度达到一定的动量分辨能力
 - Λ 、超核等有次级衰变顶点的粒子重建本底~0
- 螺线管磁场
 - 不同电荷态、不同能量束流粒子轨迹一致, 便于布置探测器测量小角度粒子
 - 磁铁内部空间磁场均勻性好, 磁体体积小、造价低

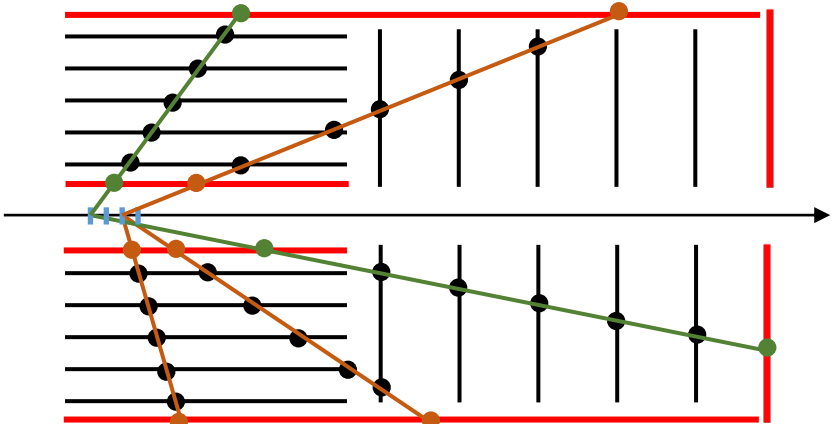
硅径迹探测器



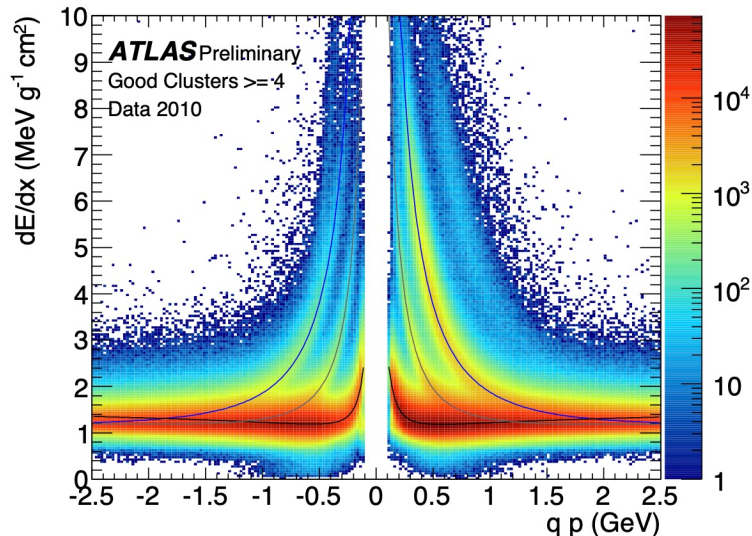
- 100微米pixel size
- 单pixel死时间~1 μ s (1/MHz)
 - 因为pixel很小，尽管 η 物理事例率>100MHz，死时间内击中概率极低
- 能量、时间双读出，时间分辨好于10ns (1/100MHz)，以区分不同事例的hit
 - 极少量堆积事例，可利用外层LGAD TOF hit在径迹层面上进一步区分
- 配合0.8 T磁场，动量相对误差大部分在4-6%
- 能量分辨动态范围 1-50 MIP， dE/dx 测量足以进行轻核Z鉴别
- 片上完成集团重建，节省数据传输带宽、存储量
- 需2-3年研发 总面积~28000 cm² 造价~1400万 + 1200万（研发）



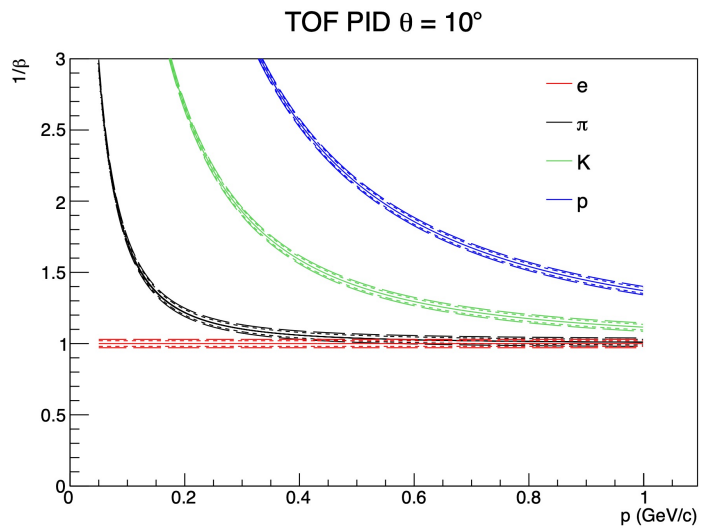
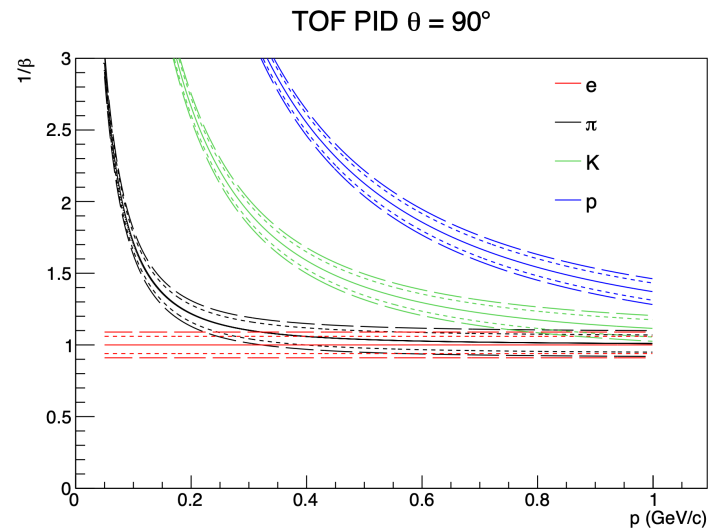
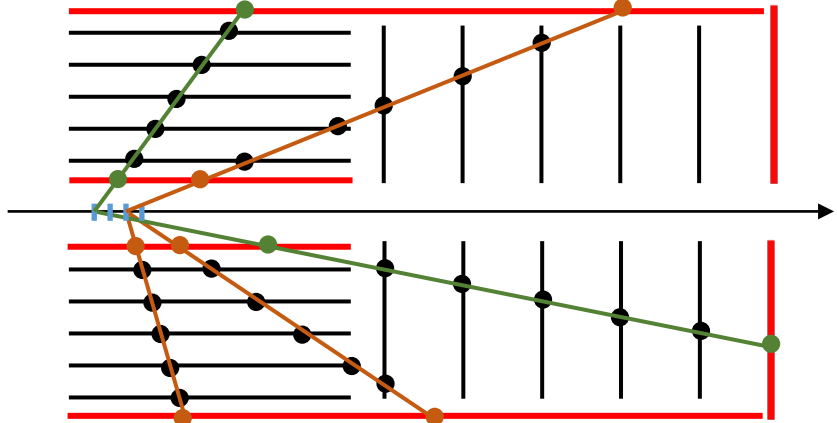
硅径迹探测器



- 100微米pixel size
- 单pixel死时间~ $1\mu\text{s}$ ($1/\text{MHz}$)
 - 因为pixel很小，尽管 η 物理事例率>100MHz，死时间内击中概率极低
- 能量、时间双读出，时间分辨好于10ns ($1/100\text{MHz}$)，以区分不同事例的hit
 - 极少量堆积事例，可利用外层LGAD TOF hit在径迹层面上进一步区分
- 配合0.8 T磁场，动量相对误差大部分在4-6%
- 能量分辨动态范围 1-50 MIP， dE/dx 测量足以进行轻核Z鉴别
- 片上完成集团重建，节省数据传输带宽、存储量
- 需2-3年研发 总面积~ 28000 cm^2 造价~1400万 + 1200万（研发）

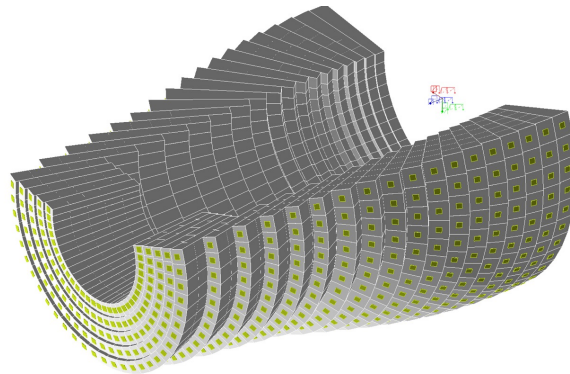


LGAD飞行时间探测器

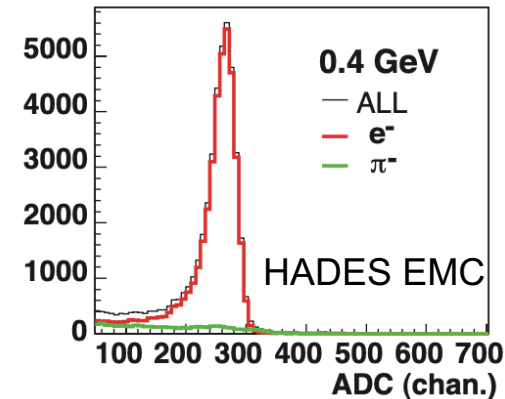
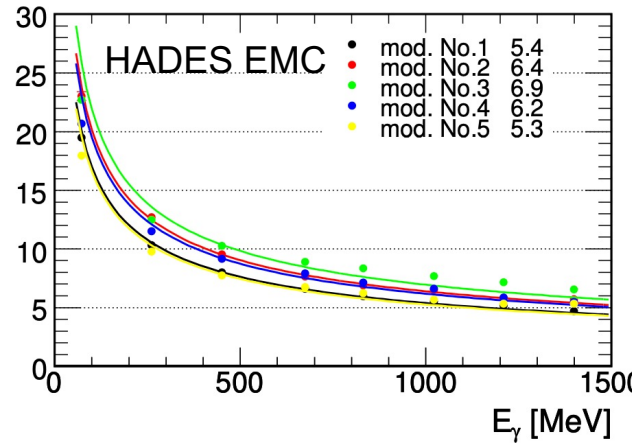


- 时间分辨 $\sim 30\text{ps}$
- 在 $p < 0.2 \text{ GeV}/c$ 时实现 6σ e/π 鉴别
- 其它粒子很好鉴别
- ATLAS 应用
- 总面积 $\sim 22000 \text{ cm}^2$ 造价 ~ 3300 万

量能器



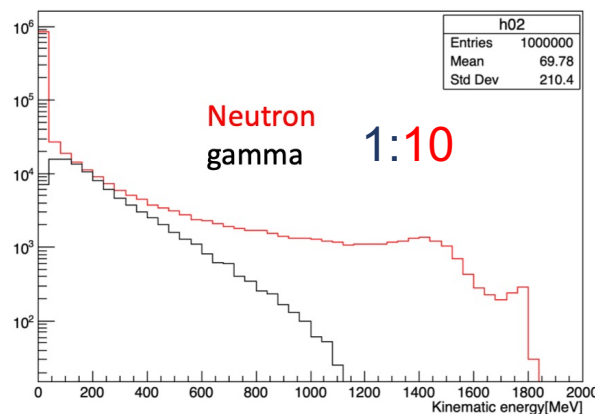
resolution [%]



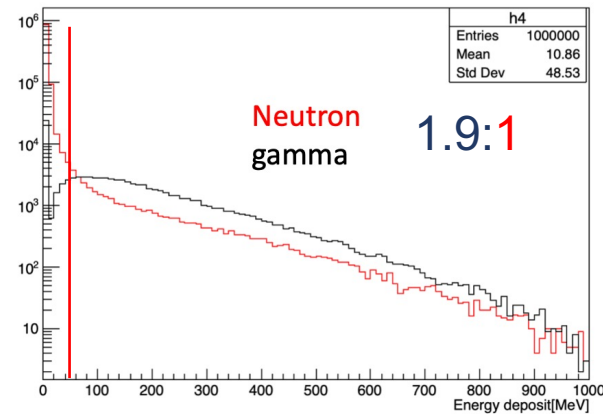
- 当前主要考虑铅玻璃
- $\Delta E/E \sim 6\%$ @1GeV
- $\Delta t \sim 200\text{ps}$ 成型时间（模块死时间） $< \mu\text{s}$
- 强子簇射产生的低能强子不产生切伦科夫光，有利于压低中子、 π 本底
- ~ 1200 模块，造价 ~ 1000 万
- 其它选项：纯CsI、铅塑闪Shashlik、ADRIANO2（闪烁光/切伦科夫光双读出）

γ -n、e- π 鉴别

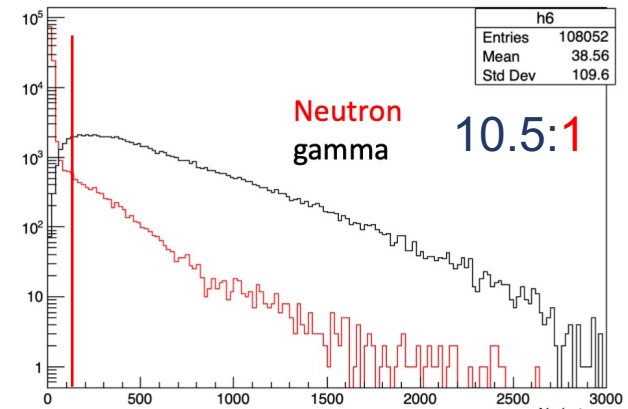
Initial kinetic energy



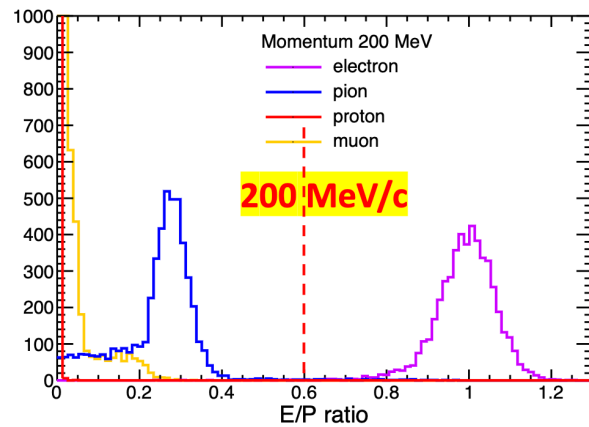
Energy deposit in Lead Glass



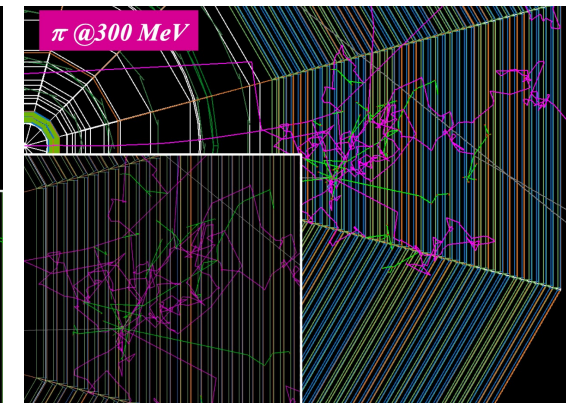
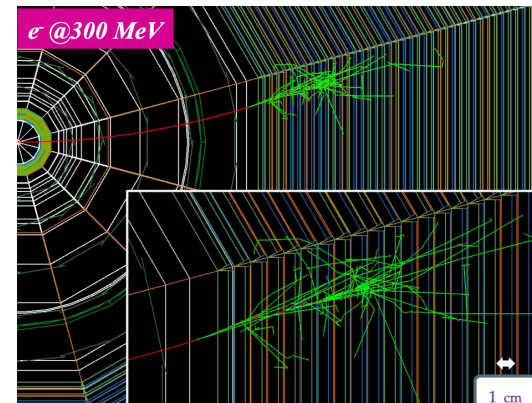
N photons collected by SiPMs



田野



- $\gamma:n \sim 1:10 \Rightarrow \sim 10:1$
- e- π : 利用径迹p信息, E/p很容易鉴别
- 簇射范围大小、形态: 信号集中在一个量能器单元 vs. 多个单元



C. Gatto

缪子探测器

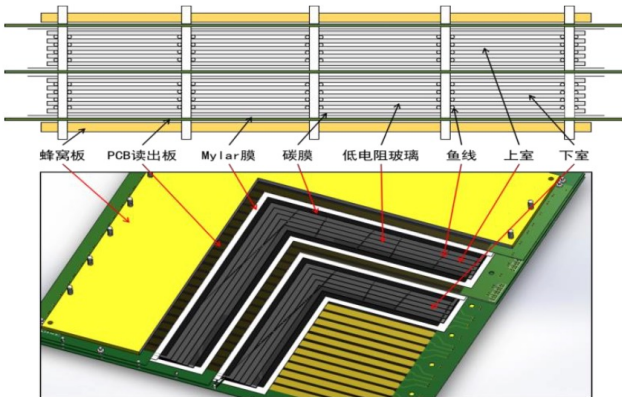
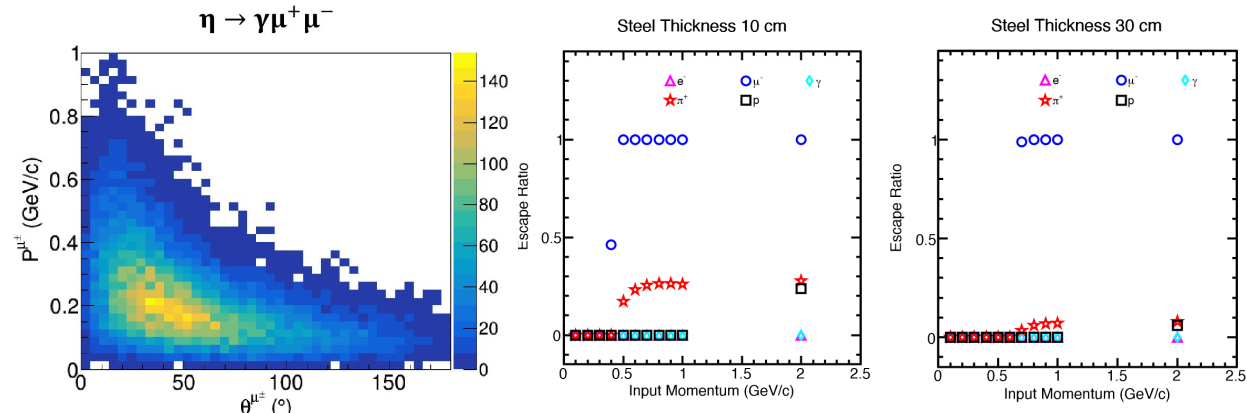
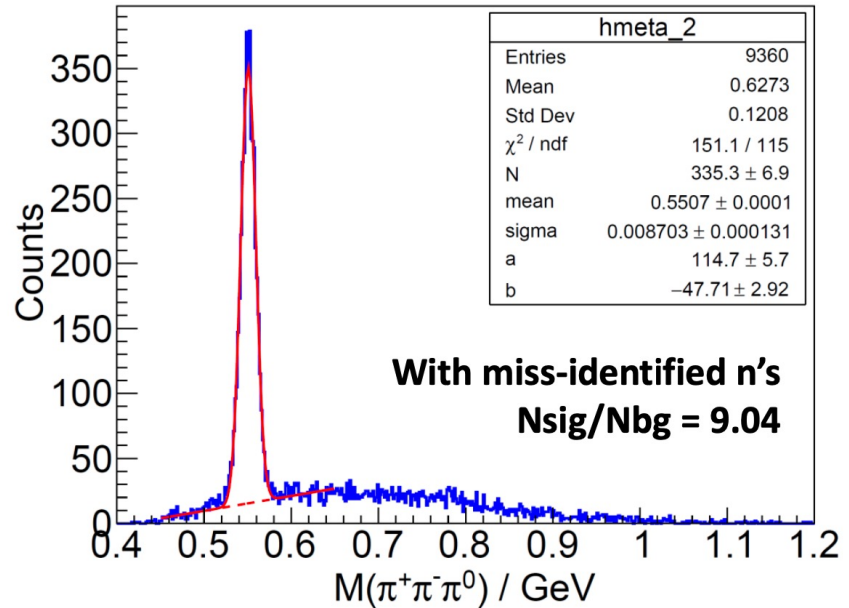
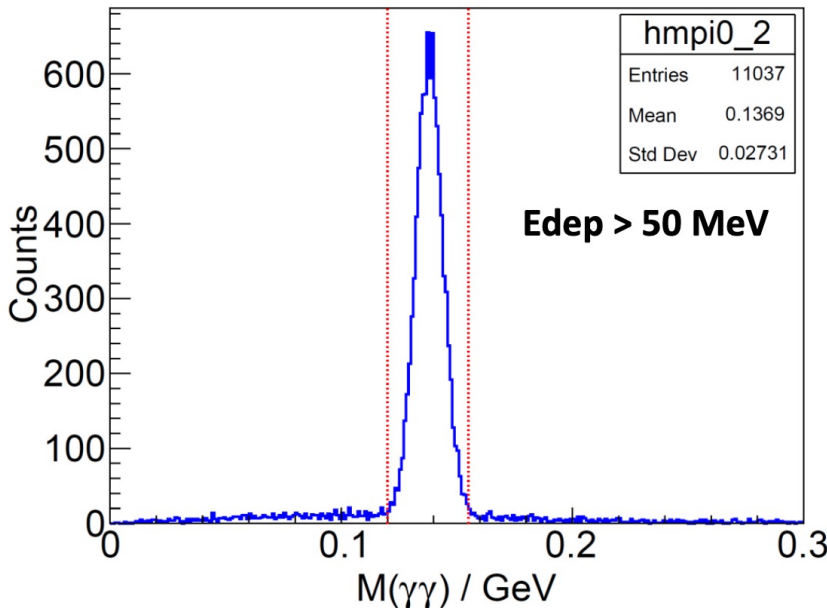


图 10 eTOF MRPC 结构示意图。



- MRPC, 类似CEE ETOF
- 阻挡物质越少, μ^+ -动量可以越低, 但 π^+ -压低系数变小
 - 更高效的 μ^+/π^+ -鉴别技术? ADRIANO2?
- 时间分辨: 几十ps
- 位置分辨: 几cm 读出条pitch、双端读出时间差, 与径迹4维配对
- 因为大角度区没有高动量 μ^+ , 仅布置于前角
- 面积~11 m² 造价~500万

η重建模拟



- $\eta \rightarrow \pi^+ \pi^- \pi^0 (\gamma\gamma)$
- 可以很好重建 π^0 、 η
- 一个月产生的 η 数目：
 - $100.e6 \text{ evt/s} * 3600\text{s/h} * 24\text{h/d} * 30\text{d} * 0.3 * 0.004 \eta/\text{evt} \sim= 3e11 \eta$

平均流强/最高流强



王荣

数据带宽需求

- 重离子碰撞
 - 1MHz
 - ~100 track
 - 7 hits / track
 - total: 7.e8 hits/s
- η 介子物理
 - $\sim >100\text{MHz}$
 - ~4 track
 - 6 hits / track
 - total: 3.e9 hits/s
- 硅径迹探测器完成片上集团重建后，新谱仪数据率与CEE在同一个量级
- CEE
 - 10kHz
 - ~100 track
 - ~ 30 hits / track
 - ~ 20 digi / hit
 - total: 6.e8 digi / s

数据处理能力需求

- 径迹重建CPU时间
 - 0.0012 s / hit
 - 7 hits / track
 - 4 track / event
 - 1.e8 event / s
 - 平均流强/最高流强 ~ 0.3
 - 1个月取数，12个月处理
 - 总的需要CPU核数： $0.0012 * 7 * 4 * 1.e8 * 0.3 / 12 = 1.e5$
- CPU机群预算：10万元/100CPU核 * 1.e5 核 = 1亿元
- 使用GPU代替CPU ~ 1/3
- 未来计算机发展 ~1/2
- 量能器重建能量>50MeV触发/在线选择
- ⇒数据处理机群预算在千万元量级

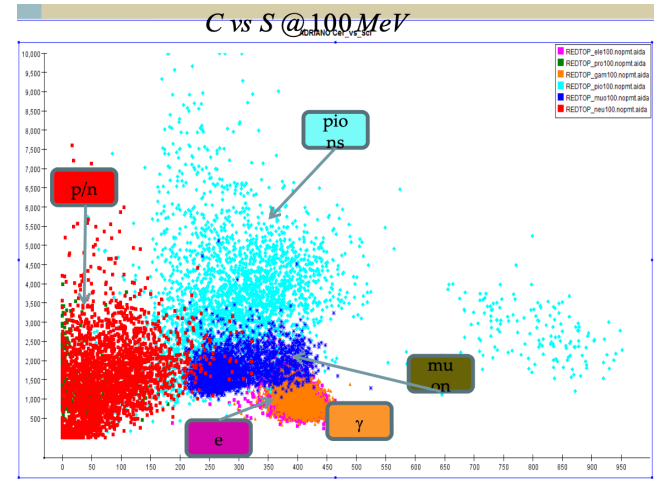
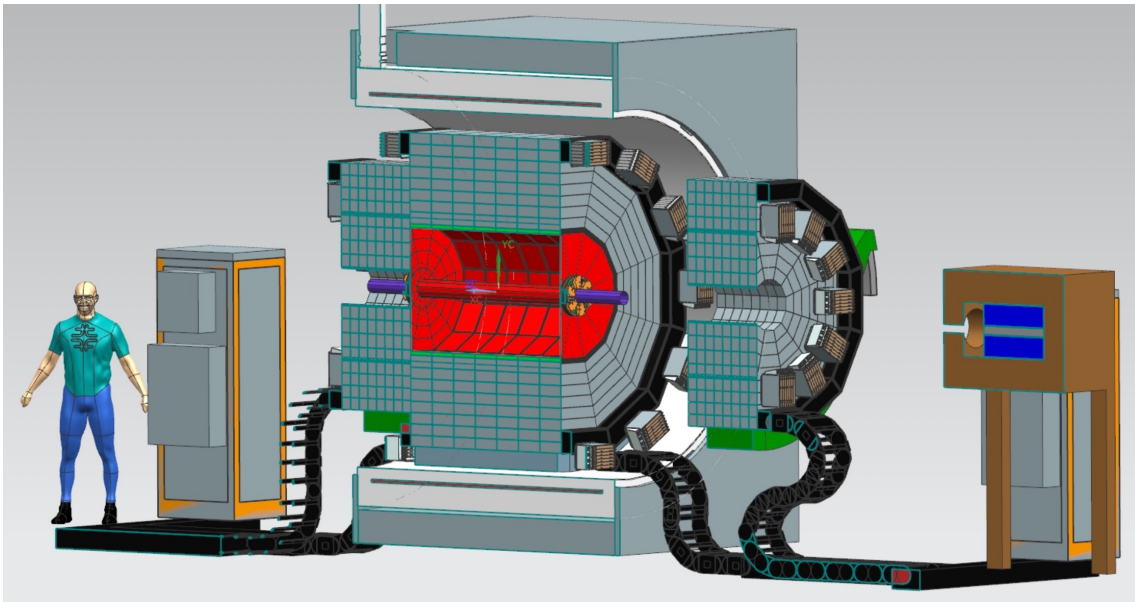
造价

子系统	预算 (万元)
Target	50
pixel tracker	1400 + 1200(研发)
LGAD TOF	3300
EMC	1000
MRPC MTD	500
Solenoid	600
Supporting structure	100
DAQ	1600
Total	8550 + 1200(研发)

谱仪名称

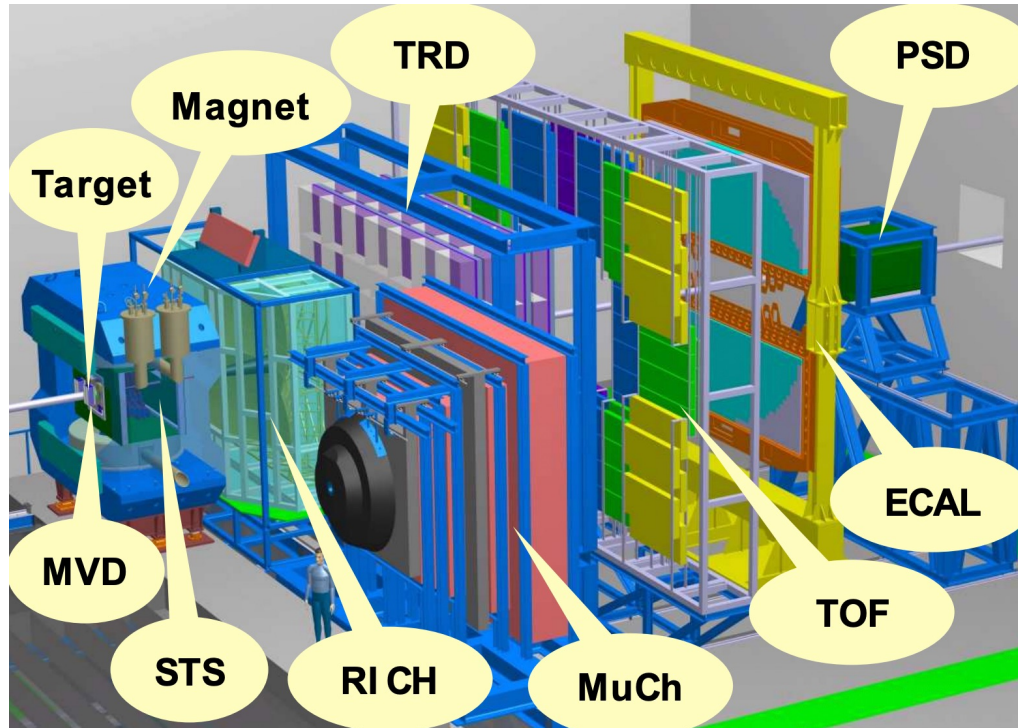
- 中国超核谱仪CHNS
- 螺线管全硅径迹谱仪SSS
- GeV-Energy Silicon Tracker (GEST)
 - 探险, 罗曼史 **Noun** [edit]
gest (*countable and uncountable, plural **gests***)
 1. (*archaic*) A story or adventure; a verse or prose romance. [quotations ▼]
 2. (*archaic*) An action represented in sports, plays, or on the stage; show; ceremony. [quotations ▼]
 3. (*archaic*) bearing; deportment [quotations ▼]
 4. (*obsolete*) A gesture or action. [quotations ▼]
 - 仪式
 - 仪态
 - 手势、姿势
- Silicon Tracker At Huizhou (STAH)

国际竞争-REDTOP



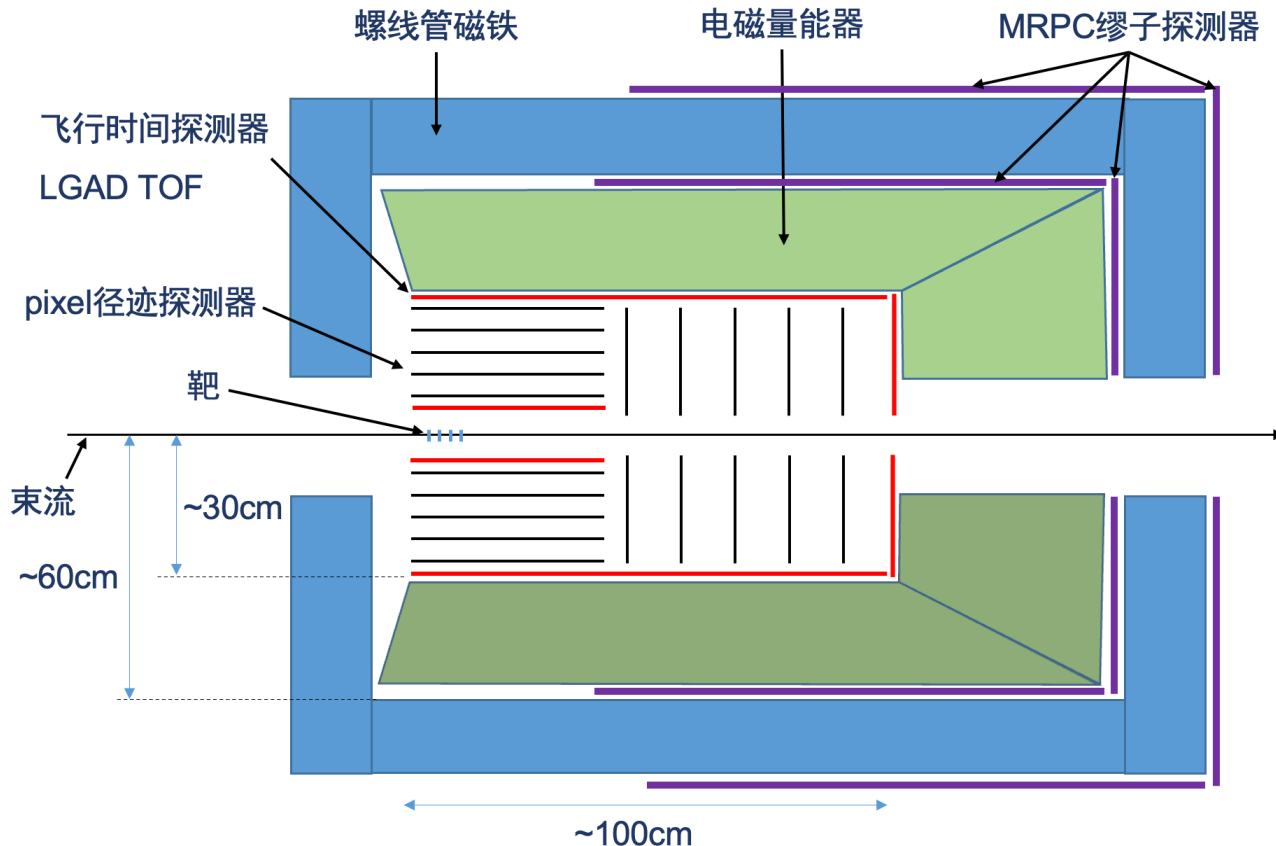
- 82-152 M USD, 5.6 – 10亿元
- 处于争取加速器实验室、经费支持阶段
- 事例率500MHz , HIAF高能终端谱仪 > 100MHz
- 无dE/dx测量，无法满足相结构、超核研究需求
- 闪烁光、切伦科夫光双读出采样型量能器（电磁+强子量能器）
 - e、μ、γ鉴别能力好（压低π、中子本底）
 - 可测量中子

国际竞争-CBM



- 55M欧元，4亿元
- 计划2028年建成
- μ 子模式需单独运行
- 覆盖能量2.5-11 AGeV，与HIAF + HIAF-U (0.8-9.1 AGeV)接近
- 事例率<10MHz, HIAF高能终端谱仪 > 1MHz

小结



- 在HIAF高能终端，建造一个极高事例率的螺线管全硅径迹探测器，可以进行 η 介子物理、轻强子物理、超核、核物质状态方程、相结构研究
- 总造价约1亿
- 具有与CBM、REDTOP相当的性能和潜力

Back-up

慢引出束流时间结构

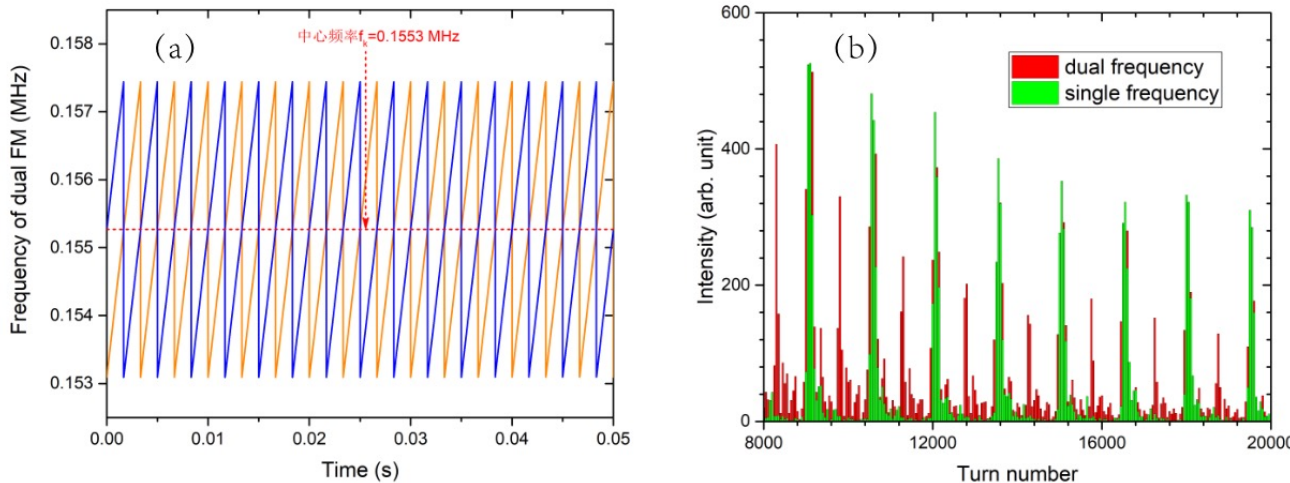


图 5.13 (a) RKO双频调制时频率随时间变化, (b) RKO双频调制对spill时间结构的影响

Figure 5.13 (a) the frequency variation with time in the dual FM process of RKO, (b) the influence of dual frequency modulation of RKO on the spill structure

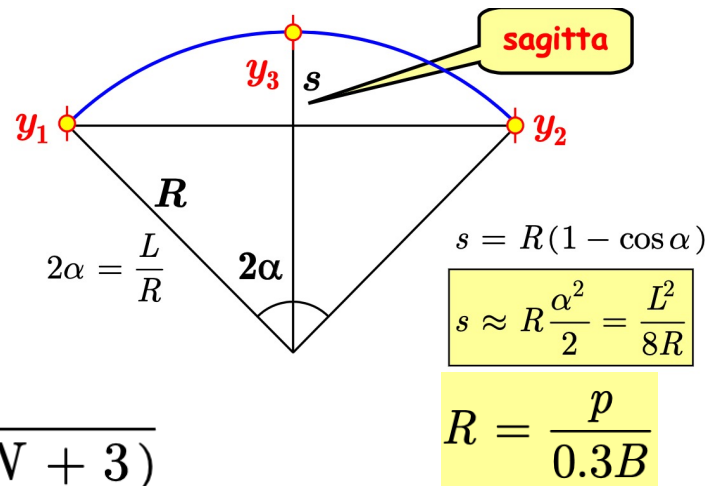
- BRing出来的spill的时间结构
- 红色是双频扫描的，1个峰和1个峰的重复频率在10~30kHz之间，峰与峰之间的束流较少
- BRing引出平台一个周期大约2us，按照3s的引出平顶，总共 $1.5e6$ 圈， $1e11$ ppp的流强，平均一圈才 $6.7e4$ 个离子，估计涨落会比较大，也会有时间结构，需要模拟²⁸

径迹探测器动量分辨率

- hit误差部分贡献:

$$\frac{\delta p}{p^2} = \frac{\sigma}{0.3BL^2} \sqrt{4C_N}$$

$$C_N = \frac{180N^3}{(N-1)(N+1)(N+2)(N+3)}$$



An Introduction to Charged Particles Tracking
 – Francesco Ragusa

- 多次库伦散射MCS部分贡献:

- 先计算长度l/2的径迹的散射角度θ₀

- 再计算长度l/2的径迹两端θ₀的角度对应的曲率1/R = θ₀/(l/2)

- 最后导出MCS动量分辨率贡献

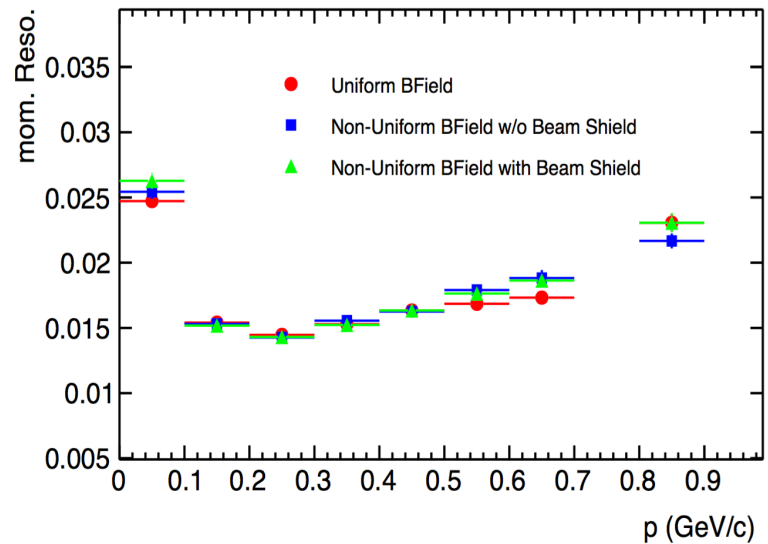
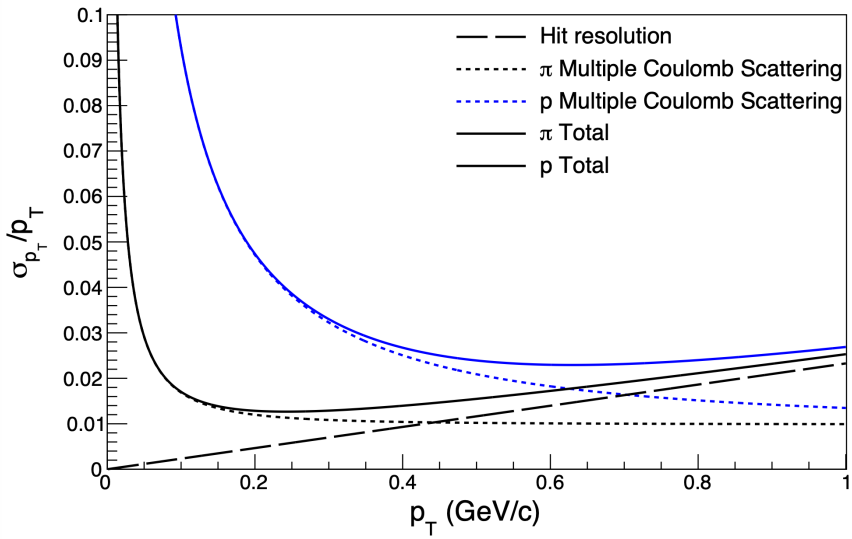
$$\theta_0 = \frac{13.6}{\beta cp} z \sqrt{x/X_0} [1 + 0.038 \ln(x/X_0)]$$

$$R = \frac{p}{0.3B}$$

- 这一部分贡献只是一个大概估算，实际情况取决于hit误差与MCS相对贡献大小等

径迹探测器动量分辨率

75 hits, R=90cm, 1.0mm hit error, 0.5T, 90°

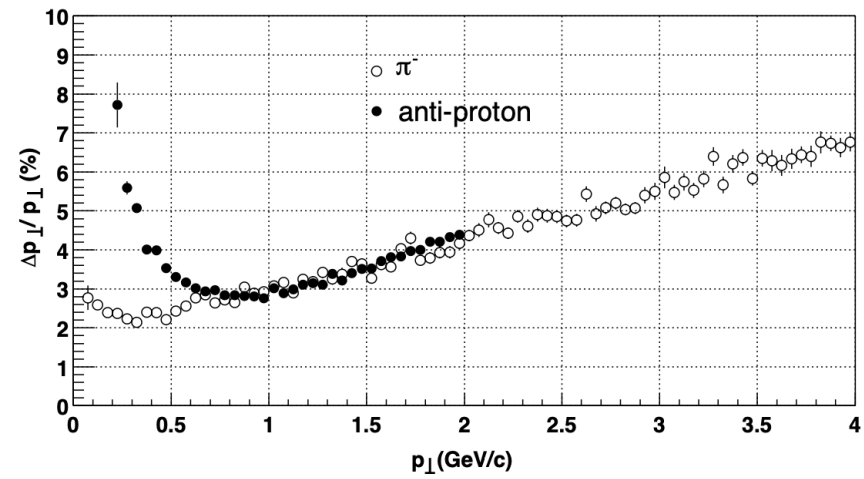
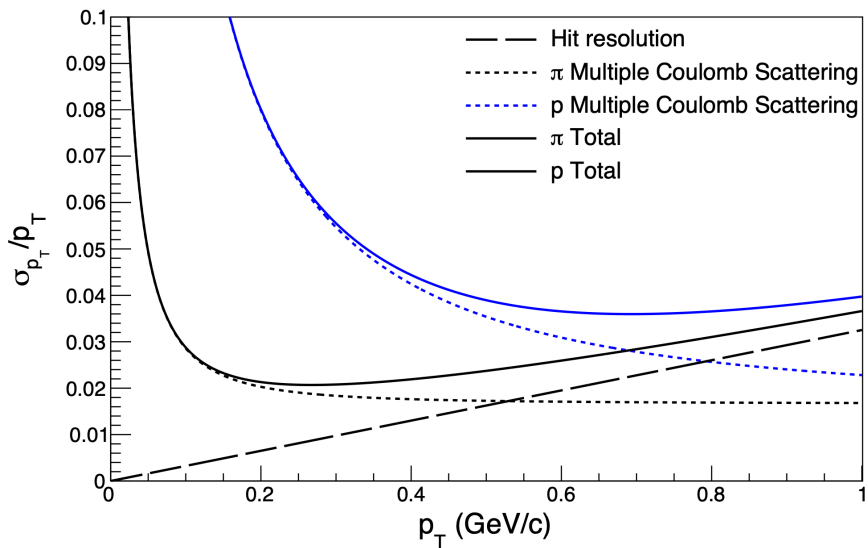


Dhananjaya

- CEE 1-box TPC与模拟结果(pion)比较

径迹探测器动量分辨率

35 hits, R=130cm, 1.0mm hit error, 0.25T, 90°



Nuclear Instruments and Methods in Physics Research A 499 (2003) 659–678

- STAR TPC 0.5T磁场下结果，与发表文章的比较

数据率

- 重离子碰撞
 - 1MHz
 - ~100 track
 - 6 hits / track
- η 介子物理
 - $\sim >100\text{MHz}$
 - ~4 track
 - 6 hits / track
- CEE
 - 10kHz
 - ~100 track
 - ~30 hits / track
 - ~20 digi / hit
- 因此， 硅径迹探测器完成片上集团重建后， 新谱仪数据率与CEE在同一个量级 32

硅径迹探测器

- 造价

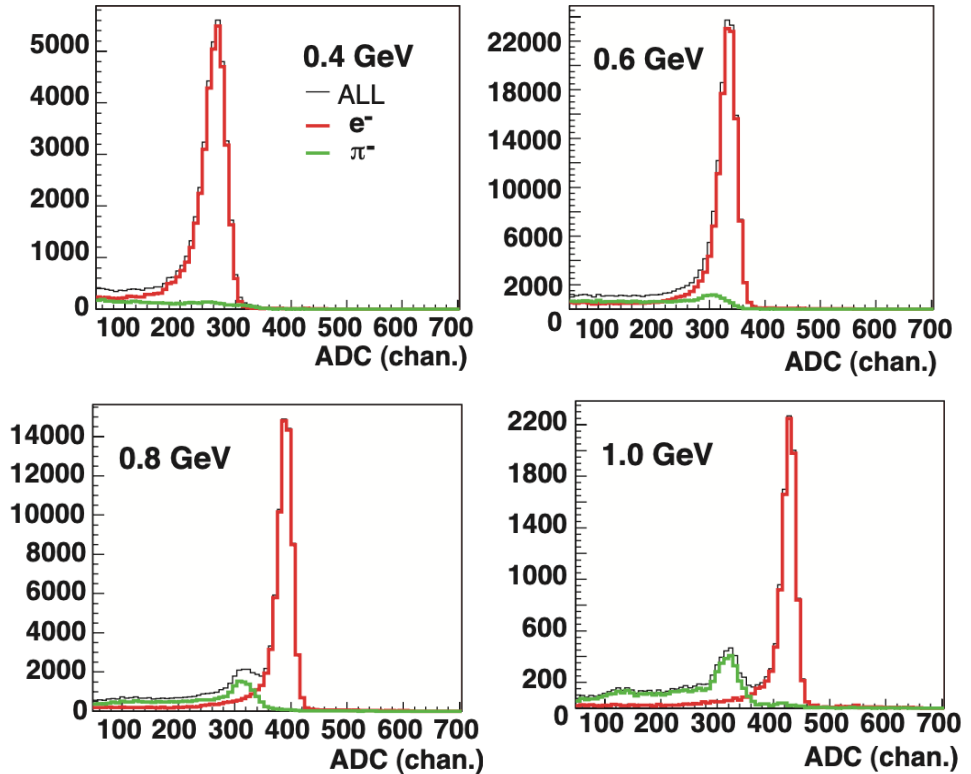
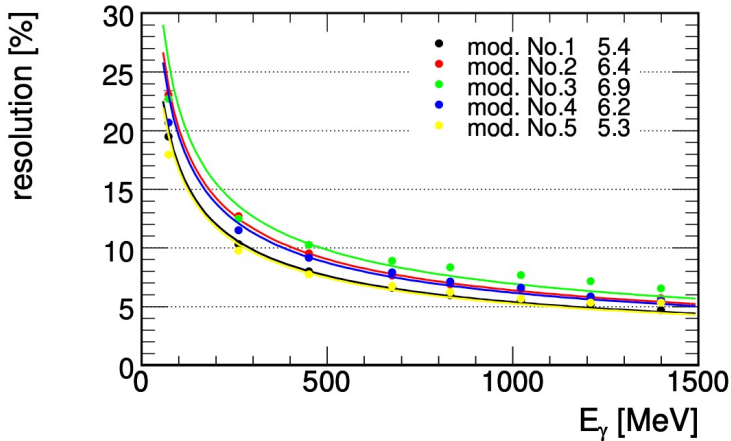
- 400元/cm² (芯片100 + FPCB电子学100 + 支撑结构等200) + 1200万研发费用 + 300万劳务费
- 总面积 $28000 \text{ cm}^2 \Rightarrow 400 * 28000 = 1100\text{万}$
 - 桶部：最外层25cm半径，30cm长，最外层面积 $3.14 * 25 * 2 * 30 = 4700 \text{ cm}^2$, 5层, 总面积 $4700 * 6 / 2 = 14000 \text{ cm}^2$
 - 前端：30cm半径，5层， $3.14 * 30 * 30 * 5 = 14000 \text{ cm}^2$
- 总造价1100万 + 1200万 + 300万 = 2600万

LGAD飞行时间探测器

- 造价

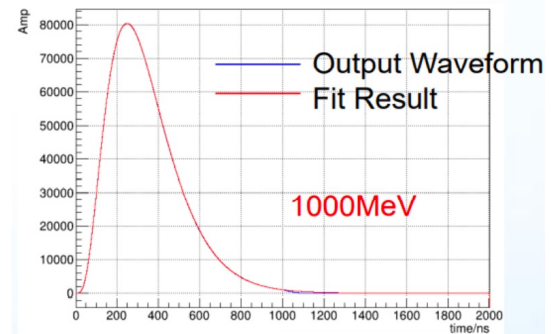
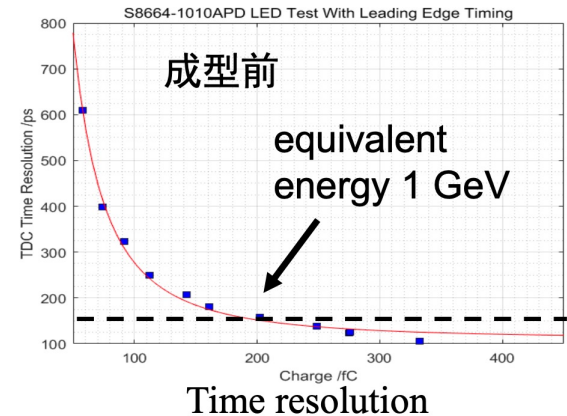
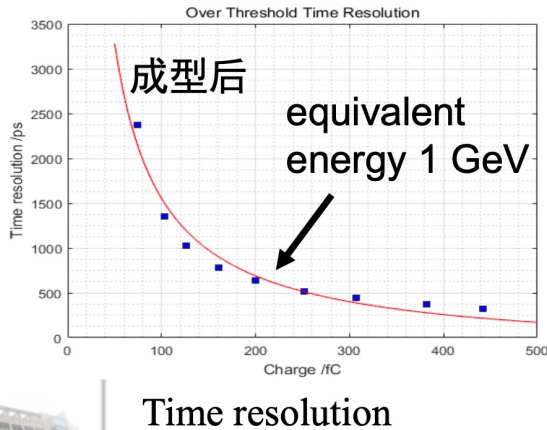
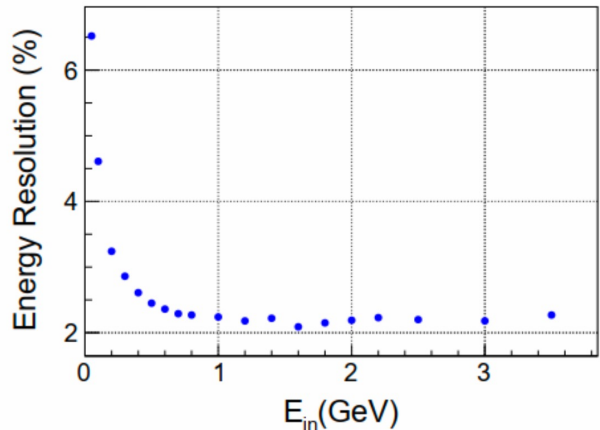
- LGAD传感器（高能所-微电子所，2平方米）面积： 900万
- ASIC （TSMC芯片，有不确定性）： 600万
- 模块组装（倒装焊等）： 400万
- 电子学读出板： 500万
- 高压系统（假设每个模块单独供高压）： 300万
- 低压系统： 100万
- 冷却系统： 300万
- 电缆等： 200万

铅玻璃

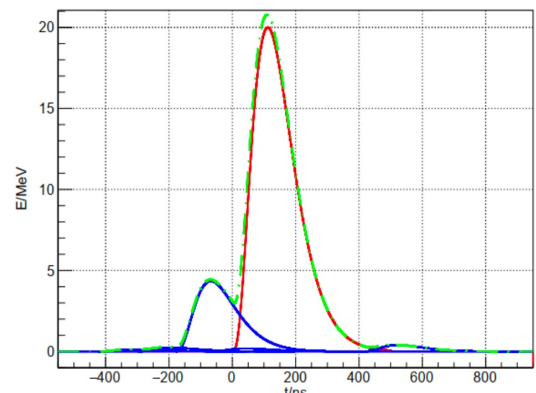


- HADES EMC
- 能量分辨率 ~6% @ 1GeV, ~25% @ 50MeV
- 时间分辨~215ps (0.8 GeV电子)
- 成型时间~0.5 μs
- 强子簇射切伦科夫光产额低于电子簇射，有利于压低中子、π本底
- 造价：~<1000万

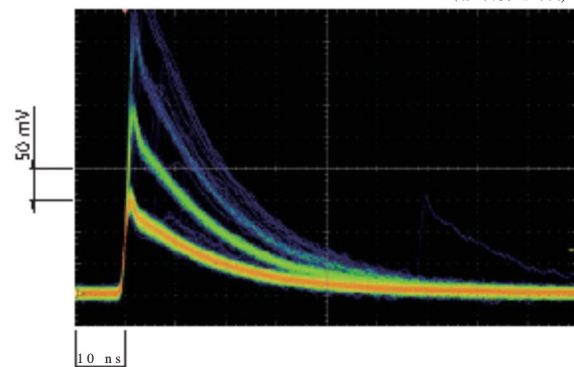
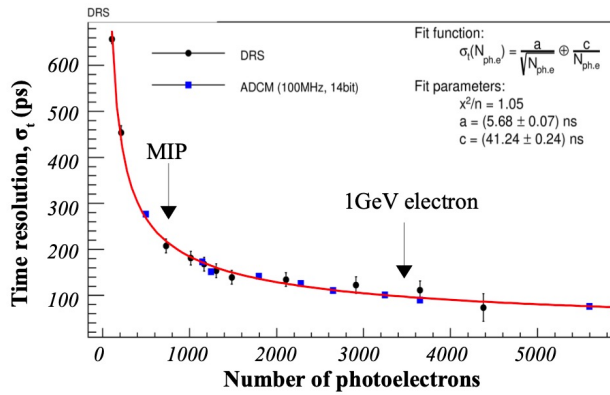
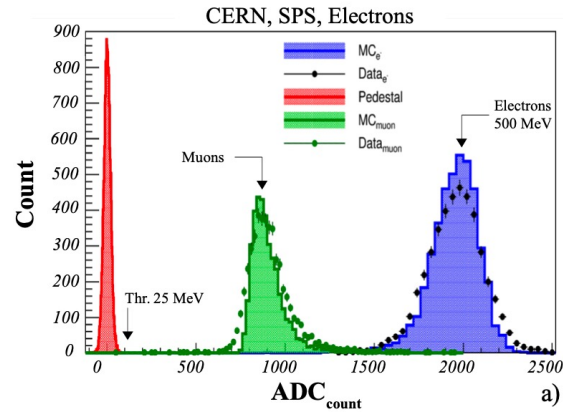
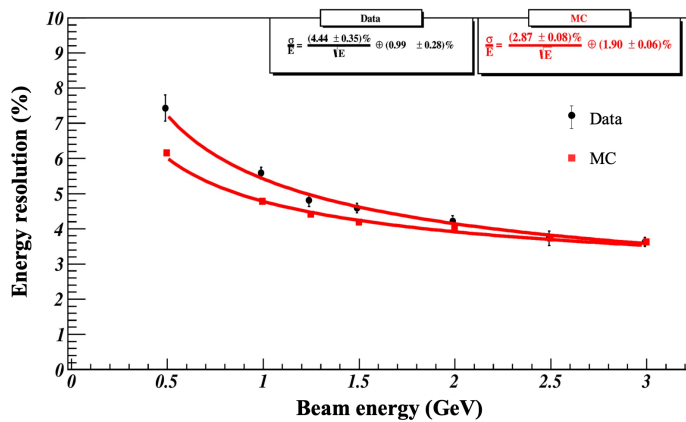
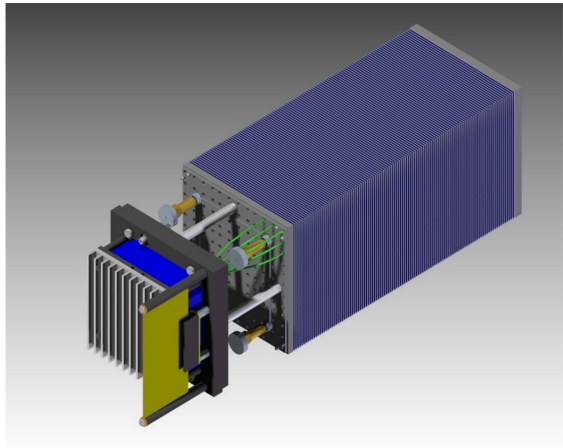
纯CsI



- 科大STCF预研
- 能量分辨率 $\sim 2\%$ @ 1GeV, $\sim 7\%$ @ 50MeV
- 时间分辨
 - 成型前: $\sim 150\text{ps}$ @ 1GeV, 小信号 $\sim 1\text{ns}$
 - 成型后: 600ps @ 1GeV, 小信号几个ns
- 成型时间 $\sim 1 \mu\text{s}$
- 造价: 5800万 ($\theta=10\text{-}100$ 度) / 4000万 ($\theta=10\text{-}60$ 度)



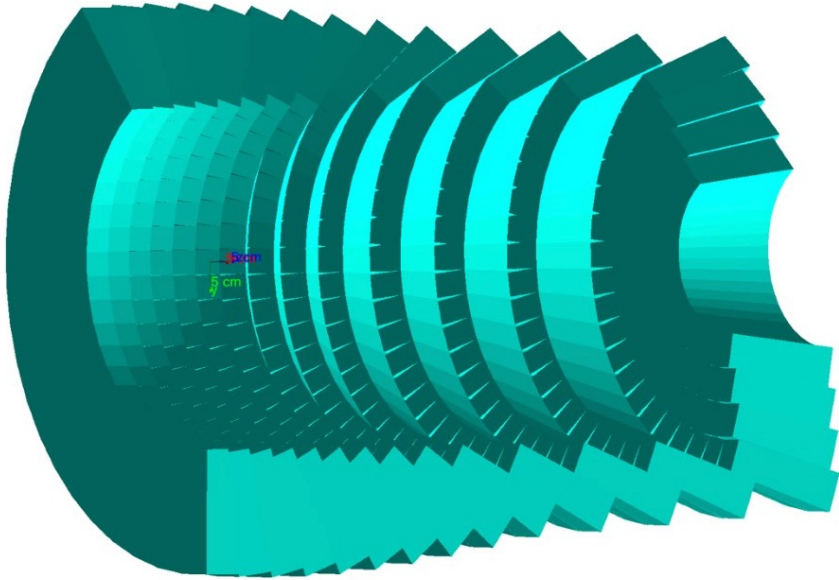
采样型



- NICA-MPD量能器，国内清华等参与研制生产
- 0.3mm铅 + 1.5mm塑闪（铅辐射长度0.56cm）
- 能量分辨率~6%@1GeV, ~20%@50MeV (公式推算)
- 阈值可设在25MeV
- 时间分辨~100ps @ 1GeV, ~500ps @ 50MeV
- Micro-Pixel Avalanche Diodes (MAPD)死时间~50ns
 - 还有没有另外的电子学成型时间？
- 造价~<1千万
 - MPD ECAL 4.5m直径, 6m长, 第一期造价~3千万

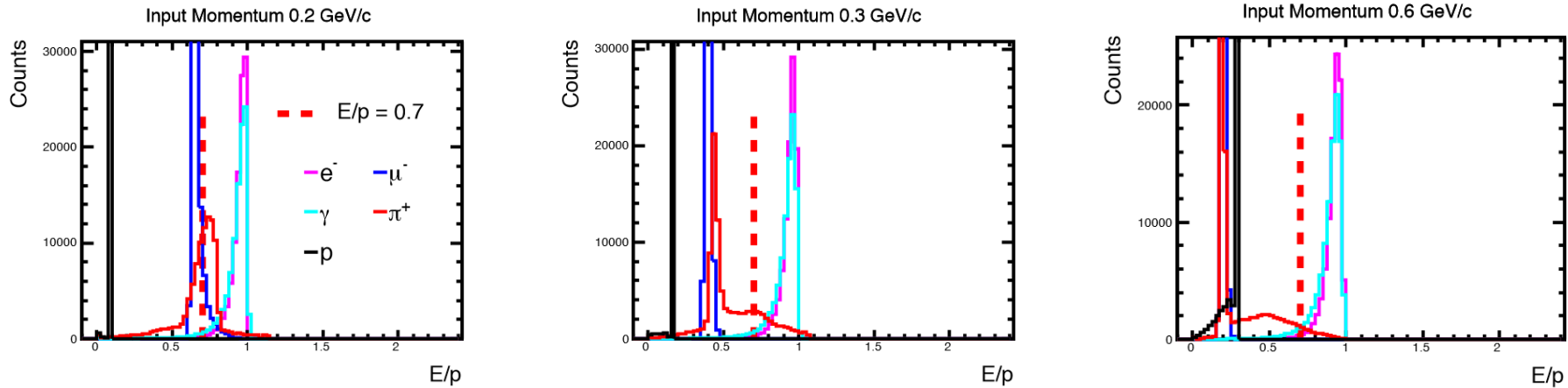
纯CsI电磁量能器

Module	角度	数量	短边(cm)	长边(cm)
Shape 1	6.5	10	4.23	6.5
Shape 2	3	4	5.45	6.5
Shape 3	3	3	5.45	6.5

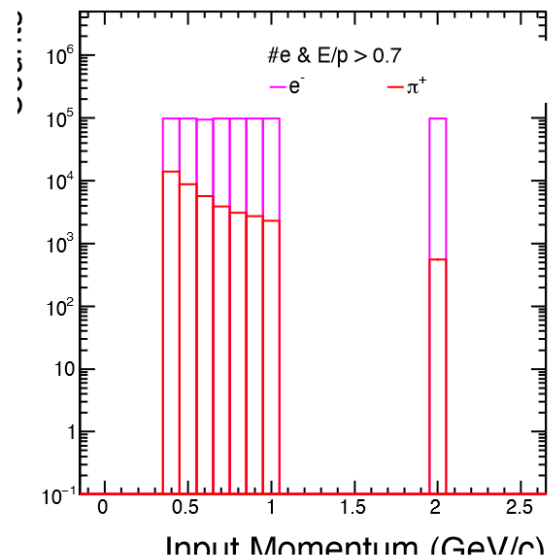


- 纯CsI晶体
 - 光衰减时间：6ns / 35ns快慢成分
 - 光产额：2.3 / 5.6% NaI
- 共~800块晶体，每块长20cm，尾端面6.5cm×6.5cm
- 每块晶体4片APD读出
- 能量分辨率 ~3% @ 1GeV
- 时间分辨好于1ns，可在100MHz事例率下区分不同事例
- 耐辐射性：100krad未见性能变化， 10^{12} 中子/cm²辐射后光产额降低0-20%
- 中科大、近物所等（STCF EMC预研）
- 造价：5800万（θ=10-100度）/ 4000万（θ=10-60度）

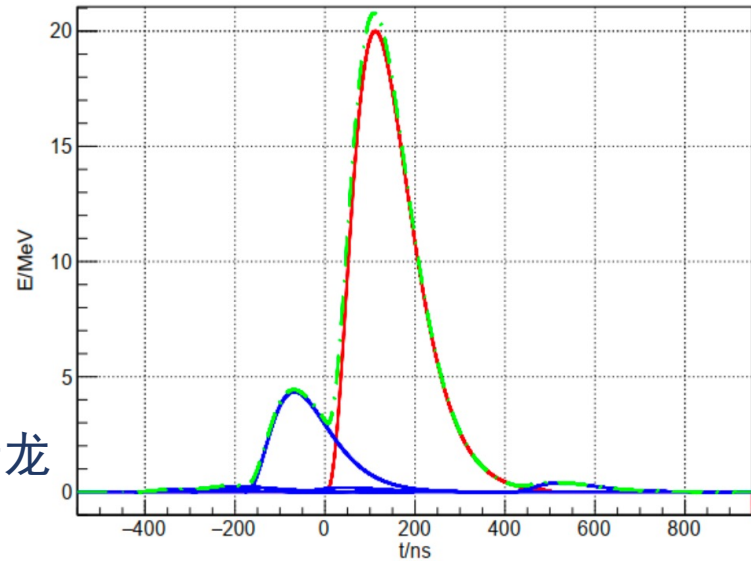
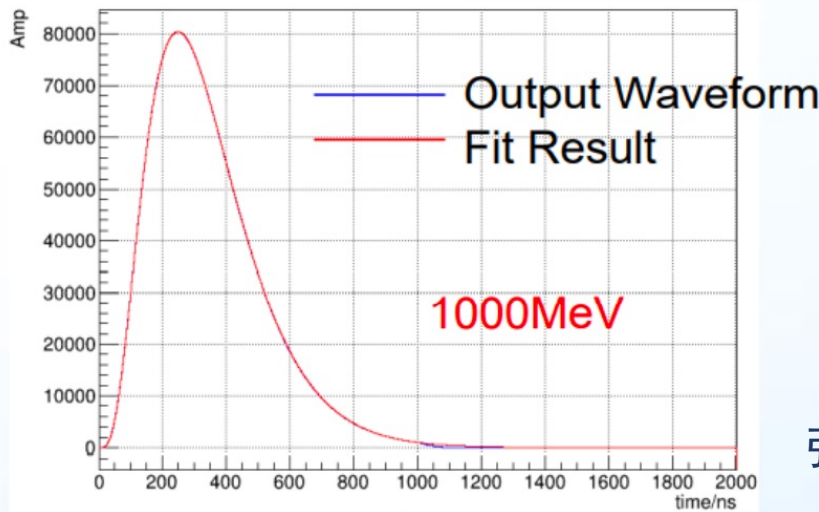
纯CsI电磁量能器



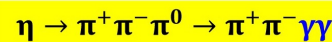
- 从0.2GeV/c动量开始，具有较好的 e / π 鉴别能力
- π 压低一个量级以上



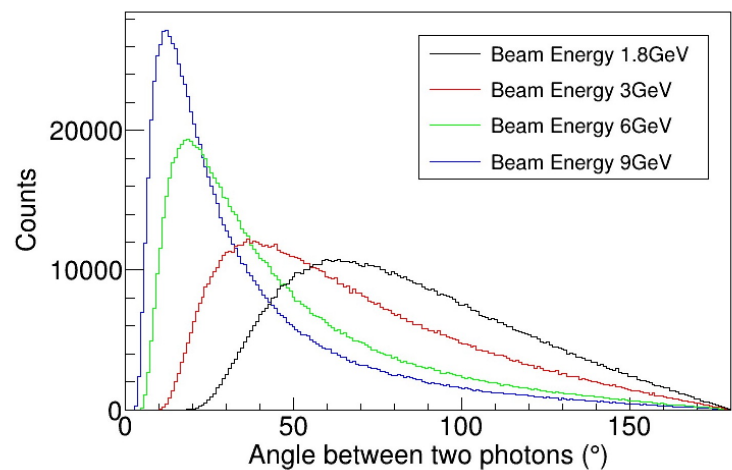
纯CsI电磁量能器



张云龙



- 电子学输出信号波形可长达1000ns
- 考虑100MHz事例率
- 每事例4个带电粒子+4中子可能簇射
- 每个晶体堆积事例概率~1
- 可用波形采样、拟合处理事例堆积
- 衰变双光子夹角较大，晶体尺寸满足分辨要求



EMC抗辐照性能要求估计

- 电离辐射剂量
 - 100MHz事例率，每个事例1.8GeV能量，一半能量均匀沉积在前角40cm半径，25cm厚的晶体里，则一个月的辐射剂量为
 - $100e6 * 1.8 * 3600 * 24 * 30 * 1.60218e-10 * 0.5 / (3.14 * 40 * 40 * 25 * 4.51 / 1000) = 66 \text{ Gy}$
- 中子辐射剂量：
 - 100MHz事例率，每个事例4个中子，一半均匀射向前角40cm半径晶体，则一个月的总中子通量量为
 - $100e6 * 4 * 3600 * 24 * 30 * 0.5 / (3.14 * 40 * 40) = 1e11 \text{ n / cm}^2$
- 与mu2e实验测试使用剂量(900 Gy、 $9e11 \text{ n / cm}^2$)在一个量级 *J. Phys.: Conf. Ser.* **928** 012041
- 可以通过150° C高温退火去除辐射影响 *Nuclear Instruments and Methods in Physics Research A* 432 (1999) 138

缪子探测器

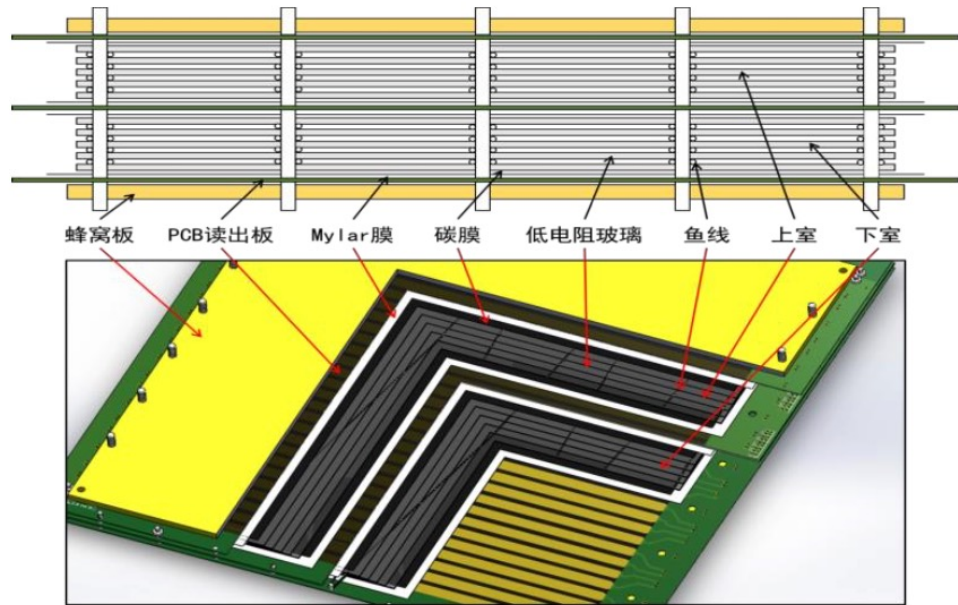


图 10 eTOF MRPC 结构示意图。

- MRPC，类似CEE ETOF
- 读出条pitch 25mm；双端读出时间差得到沿读出条方向位置信息： $100\text{ps} \times c = 30\text{mm}$
- 两个维度均可得到cm量级的位置分辨率，与几十ps的时间分辨配合，可以与径迹进行4维配对，压低强子簇射本底
- 面积： $3.14 \times 0.55 \times 0.55 + 3.14 \times 0.8 \times 0.8 + 2 \times 3.14 \times 0.55 \times 1 + 2 \times 3.14 \times 0.8 \times 1 = 11 \text{ m}^2$
- 造价：CEE ETOF 8m^2 , 350万 $\Rightarrow 11\text{ m}^2$, 500万

Beam dump

Back-up

e & muon

C, T, CP-violation

- ❑ CP Violation via Dalitz plot mirror asymmetry: $\eta \rightarrow \pi^0 \pi^+ \pi^-$
- ❑ CP Violation (Type I – P and T odd , C even): $\eta \rightarrow 4\pi^0 \rightarrow 8\gamma$
- ❑ CP Violation (Type II - C and T odd , P even): $\eta \rightarrow \pi^0 \ell^+ \ell^-$ and $\eta \rightarrow 3\gamma$
- ❑ Test of CP invariance via μ longitudinal polarization: $\eta \rightarrow \mu^+ \mu^-$
- ❑ CP inv. via γ^* polarization studies: $\eta \rightarrow \pi^+ \pi^- e^+ e^-$ & $\eta \rightarrow \pi^+ \pi^- \mu^+ \mu^-$
- ❑ CP invariance in angular correlation studies: $\eta \rightarrow \mu^+ \mu^- e^+ e^-$
- ❑ CP invariance in angular correlation studies: $\eta \rightarrow \mu^+ \mu^- \pi^+ \pi^-$
- ❑ CP invariance in μ polar. in studies: $\eta \rightarrow \pi^0 \mu^+ \mu^-$
- ❑ T invar. via μ transverse polarization: $\eta \rightarrow \pi^0 \mu^+ \mu^-$ and $\eta \rightarrow \gamma \mu^+ \mu^-$
- ❑ CPT violation: μ polar. in $\eta \rightarrow \pi^+ \mu^- \nu$ vs $\eta \rightarrow \pi^- \mu^+ \nu$ - γ polar. in $\eta \rightarrow \gamma \gamma$

Other discrete symmetry violations

- ❑ Lepton Flavor Violation: $\eta \rightarrow \mu^+ e^- + c.c.$
- ❑ Radiative Lepton Flavor Violation: $\eta \rightarrow \gamma(\mu^+ e^- + c.c.)$
- ❑ Double lepton Flavor Violation: $\eta \rightarrow \mu^+ \mu^- e^+ e^- + c.c.$

Non- η/η' based BSM Physics

- ❑ Neutral pion decay: $\pi^0 \rightarrow \gamma A' \rightarrow \gamma e^+ e^-$
- ❑ ALP's searches in Primakoff processes: $p Z \rightarrow p Z a \rightarrow l^+ l^-$ (F. Kahlhoefer)
- ❑ Charged pion and kaon decays: $\pi^+ \rightarrow \mu^+ \nu A' \rightarrow \mu^+ \nu e^+ e^-$ and $K^+ \rightarrow \mu^+ \nu A' \rightarrow \mu^+ \nu e^+ e^-$
- ❑ Dark photon and ALP searches in Drell-Yan processes: $q\bar{q} \rightarrow A'/a \rightarrow l^+ l^-$

New particles and forces searches

- ❑ Scalar meson searches (charged channel): $\eta \rightarrow \pi^0 H$ with $H \rightarrow e^+ e^-$ and $H \rightarrow \mu^+ \mu^-$
- ❑ Dark photon searches: $\eta \rightarrow \gamma A'$ with $A' \rightarrow \ell^+ \ell^-$
- ❑ Protophobic fifth force searches : $\eta \rightarrow \gamma X_{17}$ with $X_{17} \rightarrow \pi^+ \pi^-$
- ❑ QCD axion searches : $\eta \rightarrow \pi \pi a_{17}$ with $a_{17} \rightarrow e^+ e^-$
- ❑ New leptophobic baryonic force searches : $\eta \rightarrow \gamma B$ with $B \rightarrow e^+ e^-$ or $B \rightarrow \gamma \pi^0$
- ❑ Indirect searches for dark photons new gauge bosons and leptoquark: $\eta \rightarrow \mu^+ \mu^-$ and $\eta \rightarrow e^+ e^-$
- ❑ Search for true muonium: $\eta \rightarrow \gamma(\mu^+ \mu^-)|_{2M_\mu} \rightarrow \gamma e^+ e^-$
- ❑ Lepton Universality
- ❑ $\eta \rightarrow \pi^0 H$ with $H \rightarrow \nu N_2$, $N_2 \rightarrow h' N_1$, $h' \rightarrow e^+ e^-$

Other Precision Physics measurements

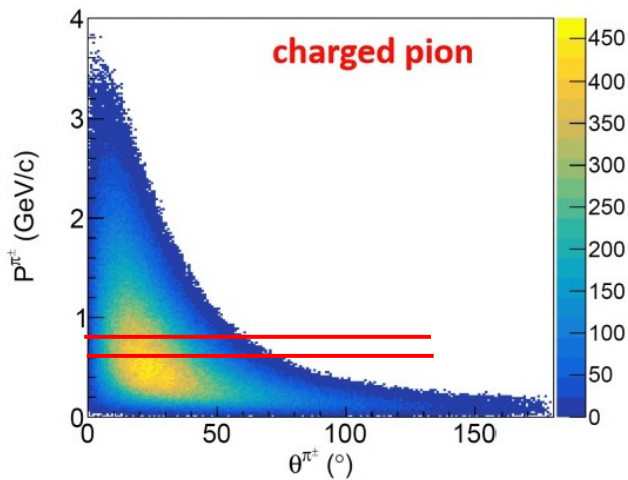
- ❑ Proton radius anomaly: $\eta \rightarrow \gamma \mu^+ \mu^-$ vs $\eta \rightarrow \gamma e^+ e^-$
- ❑ All unseen leptonic decay mode of η / η' (SM predicts 10^{-6} - 10^{-9})

High precision studies on medium energy physics

- ❑ Nuclear models
- ❑ Chiral perturbation theory
- ❑ Non-perturbative QCD
- ❑ Isospin breaking due to the u - d quark mass difference
- ❑ Octet-singlet mixing angle
- ❑ Electromagnetic transition form-factors (important input for g-2)

缪子鉴别

charged pion

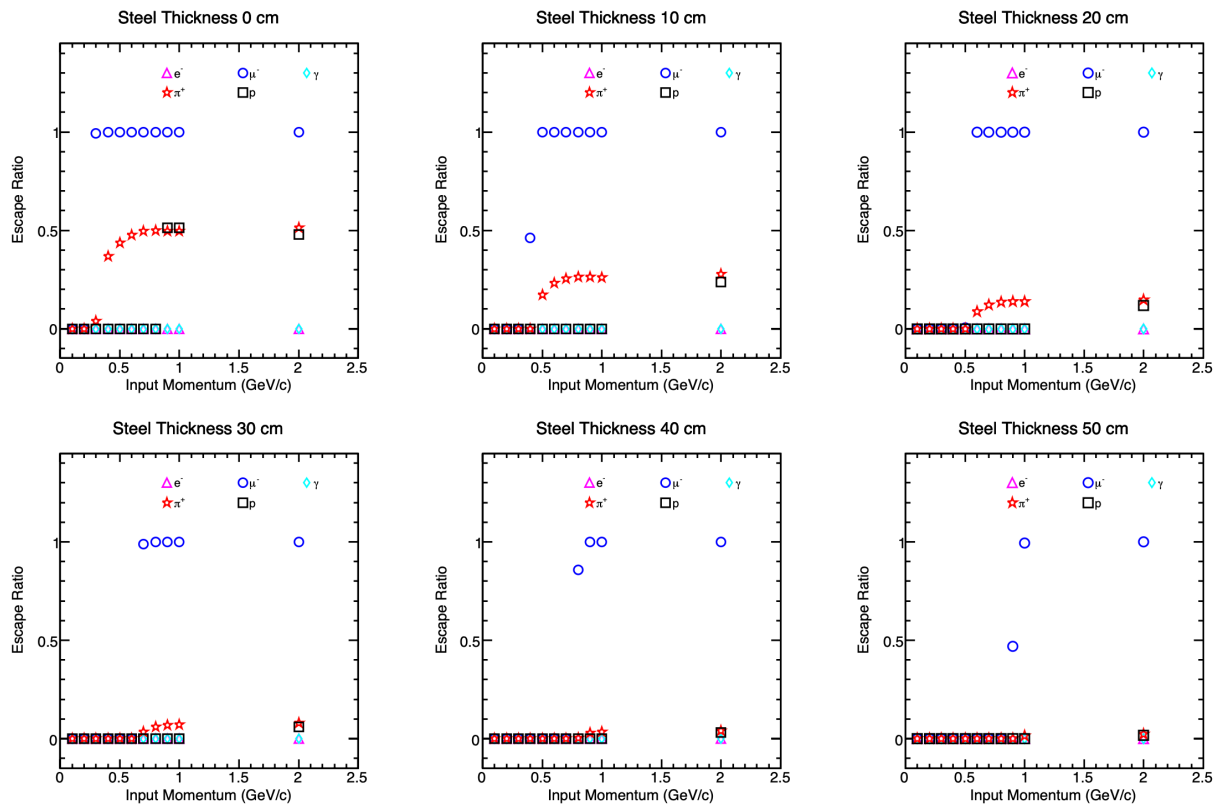


eta衰变的pi+-分布

近似为衰变缪子分布

王荣

孙旭



- 低动量下鉴别缪子、高效排除pi+-，很困难 \Rightarrow 可能只需要覆盖前角10-60度范围
- 可以调节EMC+铁的厚度，选取一定动量以上的缪子进行鉴别
- 例如，选取25cm CsI + 20cm铁，可以选择0.6GeV/c以上缪子，pi+-排除在7倍左右
- 选取25cm CsI + 40cm铁，可以选择0.8GeV/c以上缪子，pi+-排除在30倍左右
- 需要结合真实物理eta、本底产额、衰变运动学进行模拟，决定最佳铁厚度

量能器（晶体）

Table 6.2 Properties of scintillating crystals applied in particle physics experiments

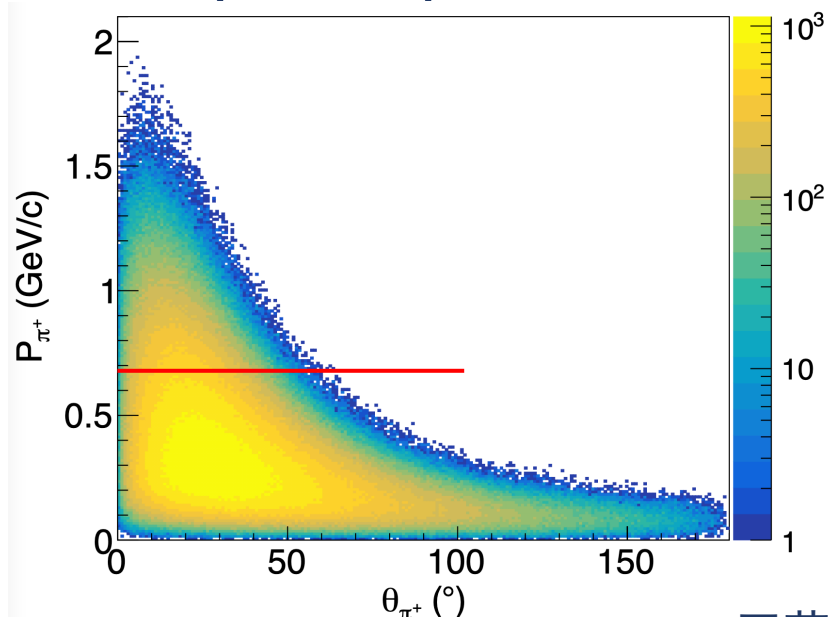
	NaI(Tl)	CsI(Tl)	CsI	BaF ₂	CeF ₃	BGO	PbWO ₄	LYSO
Density [g cm ⁻³]	3.67	4.51	4.51	4.89	6.16	7.13	8.3	7.1
Radiation length [cm]	2.59	1.85	1.85	2.06	1.68	1.12	0.89	1.16
Molière radius [cm]	4.8	3.5	3.5	3.4	2.6	2.3	2.0	2.07
Interaction length [cm]	41.4	37.0	37.0	29.9	26.2	21.8	18.0	20.3
dE/dx)mip [MeV cm ⁻¹]	4.79	5.61	5.61	6.37	8.0	8.92	9.4	9.2
Refractive index [at λ_{peak}]	1.85	1.79	1.95	1.50	1.62	2.15	2.2	1.8
Hygroscopicity	Yes	Slight	Slight	No	No	No	No	No
Emission spectrum, λ_{peak}								
Slow component [nm]	410	560	420	300	340	480	510	
Fast component [nm]			310	220	300		510	420
Light yield rel. to NaI								
Slow component	100	45	5.6	21	6.6	9	0.3	
Fast component			2.3	2.7	2.0		0.4	75
Decay time [ns]								
Slow component	230	1300	35	630	30	300	50	
Fast component			6	0.9	9		10	35

林德旭

- 考虑到几百MHz的事例率，需要光衰减时间~ns量级
- 初步考虑纯CsI，紫外扩展的SiPM，只对6ns快成分敏感 ~3个事件堆积，可以接受
 - 能量分辨率~2.3%@1GeV，总造价约1亿，科大STCF正在进行相关预研
- BaF₂快成分光衰减时间0.9ns，但比CsI贵2-3倍 \Rightarrow ~2亿量能器造价，可能太贵了₄₇

切伦科夫探测器(待定)

- 是否需要，取决于TOF和EMC能否在整个动量范围衔接电子鉴别
 - TOF: e / pi 鉴别 @ $p < 0.3 \text{ GeV}/c$
 - EMC: ?
- 与REDTOP的CTOF类似
- 气凝胶介质，选择折射率1.02
- 只有粒子beta $> 1/1.02 = 0.98$ ，才会发出切伦科夫光
 - e: $p > 2.5 \text{ MeV} \Rightarrow$ 几乎所有电子可见
 - pi: $p > 685 \text{ MeV} \Rightarrow$ 排除绝大部分强子，更高动量e pi鉴别依靠电磁量能器
- 只探测有无切伦科夫光，不成像
 - 制作成简单、统一的模块：暗盒、白膜、SiPM读出
 - 无需成像系统、无需高精度的平面 \Rightarrow 低成本、低风险
- REDTOP CTOF造价（最便宜版本）：0.6 M USD \Rightarrow 400万元



王荣

REDTOP *detector*

Central Tracker

~ 1m x 1.5 m

Thin LGAD

98% coverage

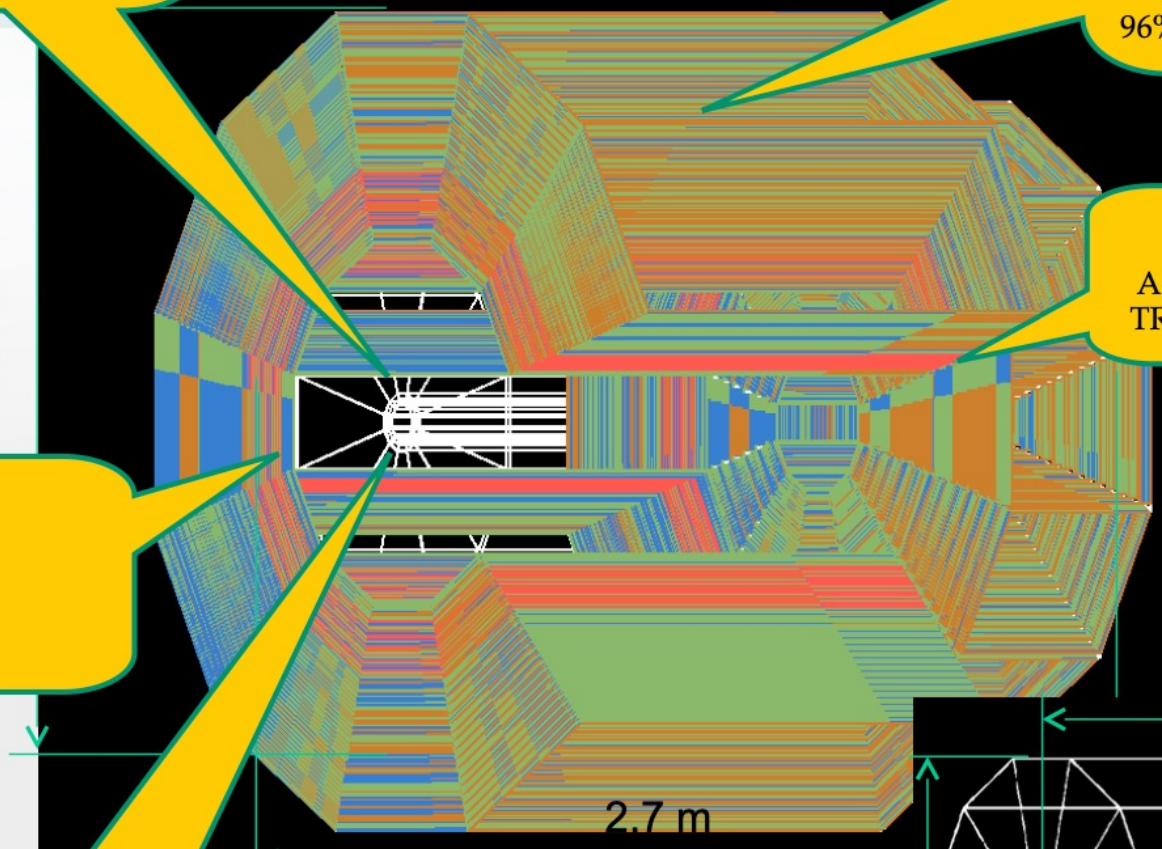
2.4 m

CTOF

~ 1m x 1.5 m

Lead-glass tiles

98% coverage



Fiber tracker or ITS3

for rejection of γ -conversion
and vertexing

ADRIANO2 Calorimeter
(tiles)

Scint. + heavy glass sandwich

35 X_0 , $2.9\lambda_L$ (~ 64 cm deep)

Triple-readout +PFA

96% coverage

μ -polarizer

Active version (from
TREK exp.) - optional

10x Be or Li targets

• 0.33 mm thin

• Spaced 10 cm

1.5 m

